1.0 INTRODUCCIÓN

1.1. Antecedentes

La empresa SIGA INGENIERIA PERU, S.A. solicito a la Empresa EGEA ANDINA, SAC. la realización de investigaciones geofísicas de Masw y Sev, la cual fue realizada en el Proyecto "Parque Eólico Morrope".

1.2. Objetivos del Estudio

El objetivo del presente estudio permitirá obtener un modelo de velocidades (Vs y Vp) a manera de estratos y la potencia de los mismos; asimismo, la probable ubicación en profundidad del suelo compacto o roca. También, mediante cálculos numéricos (Ver Anexo 9.4, Ecuaciones Matemáticas), para cada perfil interpretado se obtendrá los parámetros dinámicos: Modulo de Volumen (K), Modulo de Young (E), Modulo de Cizalla (G) y Coeficiente de Poisson (v).

El objetivo de un SEVs es la obtención de un modelo de variación de la resistividad aparente en función de la profundidad, a partir de mediciones realizadas en superficie.

- Distinguir las capas del subsuelo, según sus resistividades eléctricas, predominante en cada una de ellas e inferir en forma aproximada, su grado de permeabilidad.
- Determinar los espesores de las capas mencionadas.
- Estimar la profundidad del techo del basamento.

1.3. Ubicación de la Zona de Estudio

La ubicación del área de estudio se encuentra en el departamento de Chiclayo.

El área de influencia, donde se realizó el levantamiento geofísico se encuentra dentro de las coordenadas señaladas en la Tabla No. 1.1 y Fig. 1.1, - Fig. 1.2, para la zona. Asimismo; la disposición y dirección de cada punto de Masw y Sev, se presenta en el Anexo 9.1

Tabla Nro. 1.1: Coordenadas Trazadas del Estudio

Coordenadas - Morrope				
Al Norte	N 9264244	Al Este	E 602616	
Al Sur	N 9261961	Al Oeste	E 606760	

Nota: Las coordenadas se encuentran en Datum WGS84 zona 17L

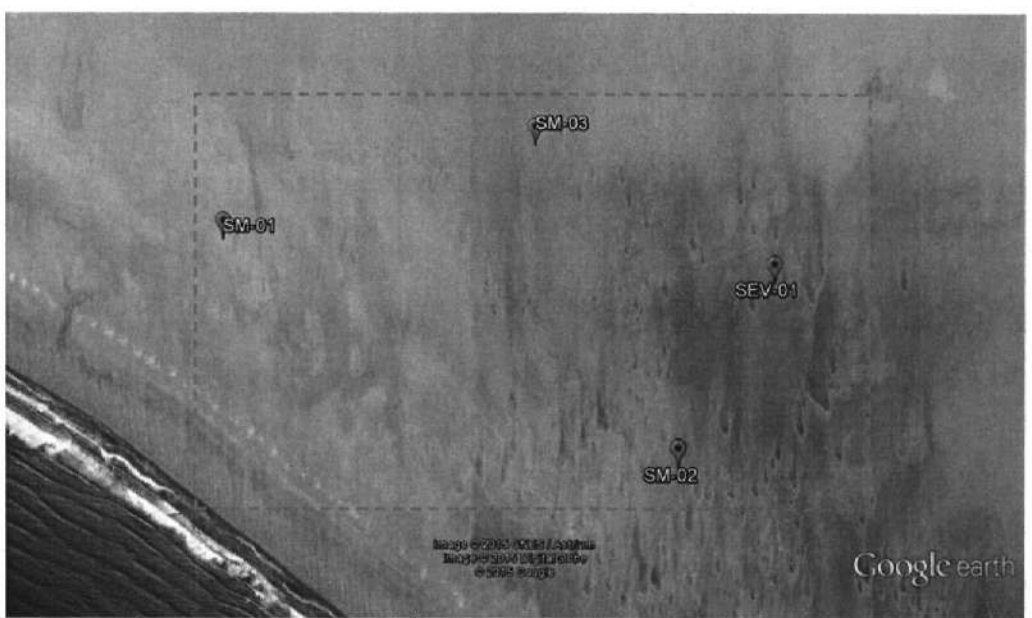


Figura 1.1. Área del Proyecto - Morrope

1.4. Programa de Investigaciones Geofísicas

El Proyecto "Parque Eólico Morrope", se realizó con el objeto de conseguir información de velocidades Vs, Vp, Parámetros dinámicos, resistividades y las condiciones geológicas y geotécnicas de las aéreas donde se realizaran la construcción.

Para lo cual; se planteo en los términos de referencia la ejecución en diversas áreas específicas el levantamiento de estudios geofísicos (Masw y Sev).

Para la zona de estudio se planteó ensayos de Masw, distribuidos en diferentes puntos de la zona (Ver Anexo 9.1, Plano de Ubicación PU-01 y PU-02), donde se visualiza la dirección y sus respectivas coordenadas.

ENSAYOS DE MASW - MORROPE			
	X_WGS84	Y_WGS84	
SM-01	9263515	602675	
SM-02	9262015	605584	
SM-06	9264097	604702	
SEV-01	9263185	606234	

1.5. Personal Responsable

En general; el levantamiento de campo se programó bajo la responsabilidad de Ing. Oscar Calle Chacaliaza y la interpretación fue realizada por el Geólogo Glicerio Fernández Jódar.

Profesional	Cargo	Función
Geólogo Glicerio Fdez	Responsable	Responsable del Proyecto
Ing. Oscar Calle	Ingeniero Geólogo	Responsable de toma de datos
Tec. Walter Castro	Chofer	Apoyo en traslado del personal

Tabla Nro. 1.2: Personal Participante del Levantamiento

DESCRIPCIÓN Y PRINCIPIO 2.0

2.1 Descripción del Método MASW 1D.

El ensayo MASW, o Análisis de Ondas Superficiales en Arreglo Multicanal. se define según la dispersión o el cambio en velocidad de fase respecto a la frecuencia, la cual es la propiedad fundamental utilizada en métodos de onda de superficie. La velocidad de onda de corte puede ser derivada invirtiendo la velocidad de fase dispersiva de las ondas superficiales. La dispersión de ondas de superficie puede ser significativa en presencia de capas de velocidad, lo cual es común en ambientes cercanos a la superficie (superiores a 100 m). Existen otros tipos de ondas de superficie (ondas que se propagan a lo largo de la superficie de la tierra), pero para esta aplicación, se enfoca en las ondas Rayleigh, también conocidas como "ground roll". Por ello, el termino onda superficial, cuando se usa en la SASW (Spectral Analysis of Surface Wave), MASW (Multichannel Analisys of Surface Wave) o MAM (Micro-Tremor Array Measurement) refiere básicamente a las ondas Rayleigh.

Existen dos maneras, en que las ondas superficiales son generadas: Fuentes activas, cuando la energía es ocasionada intencionalmente en una ubicación específica, registrando los datos en el momento en que se genera la energía. Asimismo, también existen las fuentes pasivas, o estudios de micro tremores donde el registro y el movimiento son continuos, la energía ambiental es generada por ruido cultural, tráfico, fábricas, viento, movimiento ondulatorio, entre otros; y es registrada.

La energía de las ondas de superficie decae exponencialmente con la profundidad. La energía, o también amplitud de una frecuencia en particular, es dependiente de la relación entre la profundidad y la longitud de onda. Entonces, para cada frecuencia, la amplitud decrece proporcional a la profundidad e inverso a la longitud de onda. Esto significa que para una longitud de onda más larga (periodo más largo y frecuencia más baja), las ondas superficiales viajan más profundo y de este modo contiene más información de una estructura de velocidad más profunda; sin embargo, para una longitud de ondas más corta (periodo corto y alta frecuencia) la onda de superficie viaja a poca profundidad y de este modo contiene más información de estructuras de velocidad más superficiales.

2.1.1 Parámetros Dinámicos Generales

Velocidad de Corte

Las ondas S (secundarias), son ondas en las cuales el desplazamiento es transversal a la dirección de propagación. Su velocidad es menor que la velocidad de las ondas primarias, para este estudio es obtenida a través del MASW.

Debido a ello, éstas aparecen en el terreno después que las primeras ondas. La velocidad de propagación de las ondas S en medios isótropos y homogéneos depende del módulo de corte μ y de la densidad ρ del material siendo su relación:.

$$v_s = \sqrt{rac{\mu}{
ho}}$$

Módulo de Poisson

Nombrado en honor a Simeon Poisson, es una constante elástica que proporciona una medida del estrechamiento de sección de una partícula de material elástico lineal e isótropo cuando se estira longitudinalmente y se adelgaza en las direcciones perpendiculares a la de estiramiento.

Si se toma un prisma mecánico fabricado en el material cuyo coeficiente de Poisson pretendemos medir y se somete este prisma a una fuerza de tracción aplicada sobre sus bases superior e inferior, el coeficiente de Poisson se puede medir como: la razón entre el alargamiento longitudinal producido divido por el acortamiento de una longitud situada en un plano perpendicular a la dirección de la carga aplicada. Este valor coincide igualmente con el cociente de deformaciones, de hecho la fórmula usual para el Coeficiente de Poisson es:

$$\nu = -\frac{\epsilon_{lat}}{\epsilon_{long}}$$

Módulo de Corte y Volumétrico

No obstante, en mecánica de suelos suele trabajarse con otros dos parámetros elásticos, el módulo volumétrico K y el módulo de corte G, que dividen las deformaciones elásticas o recuperables en una parte volumétrica (cambio de volumen manteniendo la forma) y en una parte distorsional (cambio de forma manteniendo el volumen), respectivamente. Ambos pueden obtenerse a partir de los valores de E (Modulo de Young) y v (Velocidad) tal como se expone a continuación.

$$K = \frac{E}{3(1-2v)}$$
 $G = \frac{E}{2(1+v)}$

Módulo de Young

El módulo de elasticidad o módulo de Young es un parámetro que caracteriza el comportamiento de un material elástico, según la dirección en la que se aplica una fuerza. Para un material elástico lineal e isótropo, el módulo de Young tiene el mismo valor para una tracción que para una compresión, siendo una constante independiente del esfuerzo siempre que no exceda de un valor máximo denominado límite elástico, y es siempre mayor que cero: si se tracciona una barra, aumenta de longitud, no disminuye. Este comportamiento fue observado y estudiado por el científico inglés Thomas Young.

Tanto el módulo de Young como el límite elástico son distintos para los diversos materiales. El módulo de elasticidad es una constante elástica que, al igual que el límite elástico, puede encontrarse empíricamente con base al ensayo de tracción del material.

Como se ha explicado para un material elástico lineal el módulo de elasticidad longitudinal es una constante (para valores de tensión dentro del rango de reversibilidad completa de deformaciones). En este caso su valor se define mediante el coeficiente de la tensión y de la deformación que aparecen en una barra recta estirada que esté fabricada en el material para el cual pretendemos estimar el módulo de elasticidad de la siguiente manera:

$$E = rac{\sigma}{\epsilon} = rac{F/S}{\Delta L/L}$$

Todos estos parámetros son estimados y determinados cuantitativamente en laboratorio, pero determinado los valores de la velocidad de la onda P (Vp) en cada registro y la densidad (d) definida por cada capa sísmica, se pueden calcular matemáticamente los parámetros Seudo dinámicos (Ver Anexo 9.2.3):

2.2 Fundamento Teórico de la Prospección Eléctrica

2.2.1 Resistividad Eléctrica (pa)

Para trabajar con el método eléctrico de resistividad eléctrica se crea un campo eléctrico mediante dos electrodos puntuales A y B, denominados de emisión, a través de los cuales se inyecta en el terreno una corriente eléctrica continúa de intensidad (I). Entre otros dos puntos del terreno con ayuda de dos electrodos M y N de medida, situados en estos puntos y mediante el correspondiente instrumento de medida, se miden las diferencias de potencial (ΔU) que se han generado. La disposición relativa de los electrodos A, B, M y N, que configuran el dispositivo tetraelectródico, está determinada por el tipo de problema geológico que se quiere resolver.

Los electrodos A y B crean en el punto M, que dista de ellos de una distancia r_{AM} y r_{BM} , un campo eléctrico con potenciales U_{MA} y U_{MB} , según las expresiones:

$$U_{MA} = \frac{\rho I}{2\pi} \frac{1}{r_{AM}} \qquad U_{MB} = -\frac{\rho I}{2\pi} \frac{1}{r_{BM}} \qquad (1)$$

El potencial total en el punto M es:

$$U_{M} = U_{MA} + U_{MB} = \frac{\rho I}{2\pi} \frac{1}{r_{AM}} - \frac{\rho I}{2\pi} \frac{1}{r_{BM}} = \frac{\rho I}{2\pi} \left(\frac{1}{r_{AM}} - \frac{1}{r_{BM}} \right). \tag{2}$$

Análogamente, el potencial en el punto N es:

$$U_{N} = U_{NA} + U_{NB} = \frac{\rho I}{2\pi} \frac{1}{r_{AN}} - \frac{\rho I}{2\pi} \frac{1}{r_{BN}} = \frac{\rho I}{2\pi} \left(\frac{1}{r_{AN}} - \frac{1}{r_{BN}} \right) \tag{3}$$

La diferencia de potencial entre los puntos M y N será:

$$\begin{split} \Delta U &= U_M - U_N = \frac{\rho I}{2\pi} \left(\frac{1}{r_{A\!M}} - \frac{1}{r_{B\!M}} \right) - \frac{\rho I}{2\pi} \left(\frac{1}{r_{A\!N}} - \frac{1}{r_{B\!N}} \right) \\ &= \frac{\rho I}{2\pi} \left(\frac{1}{r_{A\!M}} - \frac{1}{r_{B\!M}} - \frac{1}{r_{A\!N}} + \frac{1}{r_{B\!N}} \right). \end{split} \tag{4}$$

De aquí obtenemos la siguiente expresión para la resistividad eléctrica p de un medio homogéneo, en cuya superficie se encuentra un dispositivo tetraelectródico:

$$\rho = K \frac{\Delta U}{I} \tag{5}$$

$$K = \frac{2\pi}{\frac{1}{r_{AM}} - \frac{1}{r_{BM}} - \frac{1}{r_{AN}} + \frac{1}{r_{BN}}}$$
 (6)

La variable K es solo función de la distribución de los cuatro electrodos sobre el terreno y se denomina coeficiente del dispositivo. Según la expresión (6), el coeficiente del dispositivo tiene dimensiones de longitud.

La expresión (5), obtenida para un medio homogéneo, se puede aplicar para la interpretación de los resultados de la medición con un dispositivo tetraelectródico situado en la superficie de un terreno heterogéneo. Sin embargo, en este caso el resultado de cálculo será una cierta magnitud arbitraria que tiene las dimensiones de una resistividad eléctrica. A esta magnitud arbitraria se la denomina resistividad eléctrica aparente y se designa por pa.

Por consiguiente, en el caso general:

$$\rho_a = K \frac{\Delta U}{I} \tag{7}$$

2.2.2 Sondaje Eléctrico Vertical - SEV

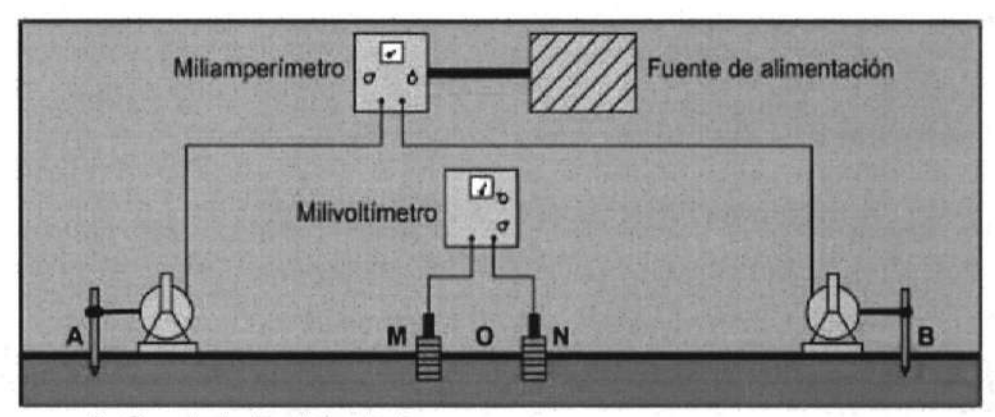
El SEV es un método eléctrico de corriente continua que se basa en la medida de la diferencia de potencial (ΔU) en un punto, a causa de la inducción de corriente en el medio a través de tomas de tierra (electrodos) conectados directamente al subsuelo, que emiten y registran el paso de la corriente eléctrica en el sustrato. Los métodos de corriente continua permiten determinar la resistividad eléctrica (ρ) de las rocas del subsuelo o su inversa, la conductividad eléctrica (σ).

Los SEV fueron ejecutados con el dispositivo tetraelectródico simétrico de Schlumberger, y una longitud de línea de emisión de corriente (AB/2) entre 500 y 1500 m.

La configuración Schlumberger está definida por cuatro electrodos dispuestos, en la superficie del terreno, de forma colinear, con los dos electrodos de corriente (A, B) dispuestos en los extremos y los dos electrodos de potencial (M, N) ubicados entre los de corriente (Figura 2.2). En este dispositivo, los electrodos de potencial o de medida son fijos y están separados por una distancia r_{MN}. Por otro lado, los electrodos de corriente están separados r_{AB} y se alejan de manera progresiva y simétrica del punto de atribución (O) (Orellana, 1982). Al aumentar la distancia entre los electrodos de corriente y los de potencial, se alcanzan distintos niveles de profundidad, obteniendo su resistividad eléctrica aparente en el punto medio (punto de atribución) de cada

conjuntode electrodos. La resistividad eléctrica aparente se determina a partir de la expresión (7) usando el coeficiente de distribución (K) del dispositivo Schlumberger:

$$K = \frac{\pi}{4} \frac{(r_{AB})^2 - (r_{MN})^2}{r_{MN}}$$



- A B electrodos de corriente
- M N electrodos de medida
- punto de atribución

Figura 2.2. Distribución en el campo del dispositivo Schlumberger.

3.0 EQUIPOS Y PARAMETROS DE LEVANTAMIENTO GEOFISICO

3.1 Equipo de Masw

Para este levantamiento, se empleó el mismo equipo que la refracción sísmica:

- √ 01 Sismógrafo ES 3000 Digital de 24 canales.
- √ 01 cable sísmico de 24 canales (3m entre geófonos).
- ✓ 24 Geófonos de 4.5 Hz.
- ✓ Cable Hammer Switch.
- ✓ Comba de 24 libras.
- ✓ Placa metálica de 25x25 cm.
- √ 01 Baterías de 12 Voltios.
- √ 100 metros de cable mellizo.
- √ 01 caja de herramientas.
- √ 03 radios Motorola de comunicación.

El levantamiento se realizó empleando los siguientes parámetros, tal como se muestra en la Tabla 3.1:

Tabla 3.1. Parámetros de adquisición del método de MASW

PARAMETRO	DESCRIPCION
Configuración de dispositivo	Lineal
Longitud de dispositivo	Aproximadamente dos veces la profundidad de interés si no hay datos de fuente pasiva. 69 m
Intervalo de geófono	3 m
Número total de geófonos	24 unidades
Tipos de geófono	Geófono vertical de 4.5 Hz.
Localización de punto de tiro	En la prolongación de la línea fuera de ella a una distancia de 10% y 20% de la longitud del dispositivo, tanto en modo normal como en modo reverso.
Equipo de fuentes sísmica	Comba de 24Lb.
Trigger	Interruptor de tiro conectado al puerto del sismógrafo
Intervalo de muestreo	0.5ms
Longitud de registro	2.0 segundos
Staking	De acuerdo a la calidad de la data.

Equipo del Sondaje Eléctrico Vertical (SEV) 3.2

El equipo que se utilizó para el levantamiento de los SEV:

- ✓ Resistivimetro Syscal Pro de 10 canales✓ Electrodos de Acero
- ✓ Cables de Corriente # 14 de 100m c/u
- ✓ Baterías de 12V
- ✓ Combas
- ✓ Multitester
- √ Flexo metro 50m

3.1.1. Parámetros de SEV

El levantamiento se realizó empleando los siguientes parámetros (Ver Tabla 3.1).

Tabla Nro. 3.1: Parámetros de SEV

Parámetro	Descripción
Configuración	Schlumberger
Espaciamiento entre Electrodos	Según arreglo
Stacks min/max	2-4
Quality factor	2
Reading	Promedio
Voltaje	Asignado

4.0 PROCEDIMIENTOS DE TRABAJO DE CAMPO

El procedimiento de campo está dado por los siguientes procesos:

- Reconocimiento de la Zona de Estudio. Consiste en hacer un análisis visual de las características del terreno, evaluando la accesibilidad y los riesgos/peligros que puedan suscitarse. El resultado de este proceso es mejorar y hasta replantear la ubicación y dirección de las líneas de planteadas en el proyecto, sin causar alguna variación en los objetivos trazados
- Instalación de Equipos y Cables. Este proceso permite ubicar el equipo adecuado, según el número de tendidos previamente planificado. Asimismo, se procede a instalar los cables y los equipos de medición (geófonos de 4.5Hz) en campo. Cabe señalar que los puntos de adquisición podrán modificarse conforme se adquiere los datos con la intensión de mejorar la adquisición y lograr la mejor adquisición de datos.
- Toma de Datos. El operador del equipo (sismógrafo), geofísico de campo, define y califica los datos conforme se van adquiriendo, indicando repeticiones o cambio de fuentes de energía o posición del equipo, según sea conveniente o necesario para el levantamiento sobre superficie.
- Para la ejecución de los SEVs, se empleó la configuración Wenner Schlumberger, con tendidos de línea de emisión AB hasta de 200m; cuyos avances fueron de 2.00, 4.00, 6.00, 8.00, 10.00, 14.00, 20.00, 30.00, 40.00, 60.00, 80.00, 100.00, 140.00, 200.00.

Finalización de Toma de Datos. En este proceso, culminada todo los shots (refracción), el operador del equipo Sismógrafo, comunica al personal el recojo de todo los equipos para la movilización a otro punto. Cabe señalar que al finalizar el levantamiento el responsable de grupo verifica y visualiza la zona de trabajo con la intensión de cerciorarse si todo el equipo fue recogido y si no hay restos contaminantes. Caso se presentara, el personal tiene la obligación y responsabilidad ambiental de mitigar el efecto.

5.0 CRITERIOS DE PROCESAMIENTO E INTERPRETACION

En general, los procesos de procesamiento e interpretación de los métodos levantados en el Proyecto parque Eólico de Morrope, se hace netamente en gabinete, empleando para ello software especializado.

Para lo cual, se mencionara los criterios principales de procesamiento de cada método y los entregables finales.

5.1 Métodos Sísmicos

Dentro de la familia de los métodos sísmicos; en este proyecto se ha realizado el levantamiento de Masw.

5.1.1 Análisis de Registros y Calificación de Datos

El análisis de cada registro se aplica en todo los métodos sísmicos (Masw), inicialmente en campo y posterior en gabinete; y generalmente es antes de iniciar el procesamiento.

En este proceso se verifica y analiza cada una de las señales obtenidas en campo, calificando cada uno de los registros y sus repeticiones a fin de obtener el registro de mejor calidad de dispersión de ondas (Vs).

Esta calificación de datos consiste en verificar digitalmente la información obtenida en campo (registro de trazas; Ver Figura 5.1), con el fin de discriminar aquellas que muestren baja calidad.

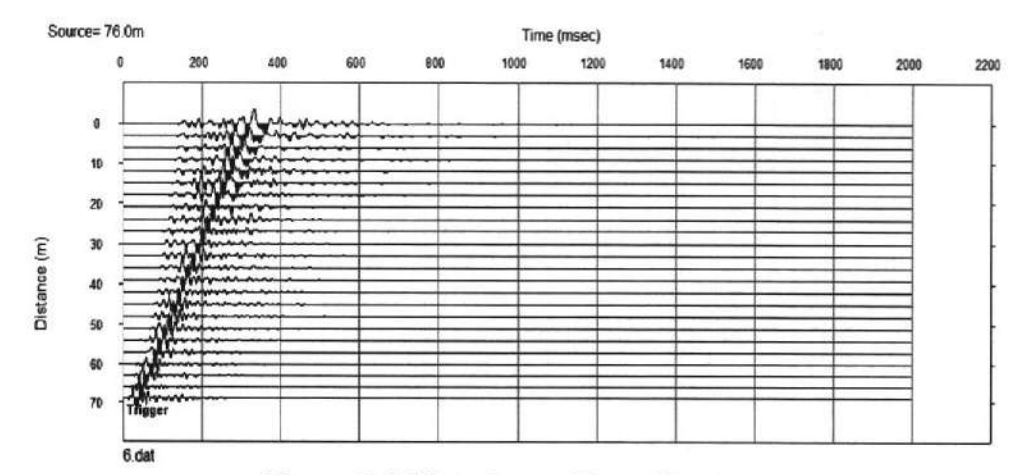


Figura 5.1. Vista de una Traza Sismica Adecuada

5.1.2 Procesamiento de Datos

Para el MASW, se emplea el paquete de software que corresponde al análisis de ondas superficiales llamado "Surface Wave Analysis Wizard", y el "WaveEq(Surface Wave Analysis)", con lo cual se determina primero un gráfico de Velocidad de fase vs. Frecuencia y la obtención de la curva de dispersión, para luego calcular mediante Inversión la variación en profundidad de la velocidad de Onda de Corte o "S".

5.1.3 Interpretación

Definidos las velocidades de corte de cada perfil sísmico y sus potencias, se hace un análisis cualitativo correlacionando dicha información con las observaciones hechas en campo, geología y apoyándose con información adicional proporcionada por calicatas, perforaciones y artículos de geología regional o local, si lo hubiera. Esto permitirá dar un mayor alcance de lo obtenido con geofísica.

Con la información obtenida (Vp, Vs) y asumiendo una densidad promedio de una tabla teórica (Ver en el Anexo 9.5; Tabla de Densidad Tellford et al, 2001), se calcula los parámetros dinámicos de cada perfil interpretado: Modulo de Volumen (K), Modulo de Young (E), Modulo de Cizalla (G) y Coeficiente de Poisson (v).

Asimismo, toda esta información es necesaria para poder complementar y ajustar mejor el cálculo de los parámetros dinámicos de cada perfil (Ver Anexo 9.1.2).

5.2 ANALISIS Y CALIFICACION DE SONDAJES DE SEV

Para este proyecto se ha realizado el Sondaje Eléctrico Vertical (SEV).

5.2.1 Análisis calificación de Datos

Es esta etapa el análisis inicial consiste en calificar la información de las diversas pulsaciones de corriente (proceso que se realiza en campo); ya en las oficinas se re-verifica y se obtiene una base de datos final de acuerdo a los patrones de respuesta. Dicha calificación se hace para dejar aquellos datos dudosos o anómalos. Este proceso es mediante el programa de calificación RES1DINV para el SEV.

5.2.2 Procesamiento de Datos

Para el procesamiento e interpretación para el ensayo de SEV, se hace netamente en gabinete, empleando para ello software especializado.

Para la interpretación cuantitativa de los SEVs, se utilizó el programa RES1D y WINSEV 6.1 desarrollado por W-Geosoft.

5.2.3 Consideración de Interpretación

De acuerdo a la literatura y experiencia institucional, para poder hacer una interpretación, se debe tener en consideración algunos factores que influyen su valor en el terreno:

- Grado de saturación del terreno
- Porosidad y la forma del poro
- · La salinidad del fluido
- El tipo y composición de la roca
- La temperatura
- · Los procesos geológicos que afectan a los materiales
- La presencia de materiales arcillosos con alta capacidad de intercambio catiónico.

Asimismo, se debe tener en cuenta que existe una directa relación entre la resistividad eléctrica y el grado de saturación del terreno, y que los valores pueden variaría significativamente. En tal sentido, se debe tener claro el incremento o disminución de fluidos en el terreno ya sea en superficie o en profundidad.

Definida, las variaciones de terreno y obtenido los resultados de resistividad, se delimitar las áreas en estratos o sectores. Asimismo, estar información es complementada con otros métodos o aplicaciones (sísmicos).

5.3 Presentación de Resultados

Primeramente, se muestran los planos de ubicación de las líneas sísmicas, puntos de MASW (PU-01 y PU-02), ejecutados en el presente estudio.

Para el MASW 1D, se presentan:

- Gráfico de Velocidad de Fase vs Frecuencia, en donde se ve la curva de dispersión, lo que representa la información obtenida en campo.
- Perfil de Variación de Velocidad de Onda de Corte en Profundidad, y el grafico donde se ve la curva de atenuación obtenida en campo y la teórica obtenida por la Inversión haciendo una comparación de las mismas para verificar la calidad de los resultados obtenidos (Ver Anexo 9.311).
- Parámetros Seudo Dinámicos obtenidos a partir de la información del MASW.

5.4 Descripción de Anexos

En general; el levantamiento geofísico realizado en el Proyecto "Parque Eólico Morrope" presenta:

- Plano de Ubicación (PU-01). Mapa en planta en donde se encuentra geo referenciada las líneas geofísicas. Así como las progresivas y las coordenadas de ubicación y se muestra en el Anexo 9.1.
- Perfiles de Interpretación. Sección 1D de Masw, en donde se mapea los estratos en función a Vs y se muestra en el anexo 9.1.1. apartado. Asimismo se presenta los cálculos de los parámetros dinámicas para cada sección.
- Tabla de Resistividades Eléctricas. Intervalo de valores de resistividad eléctrica de algunos materiales geológicos (adaptado de Orellama 1972; palacky 1988); y se muestra en el anexo 9.7.
- Ecuaciones Matemáticas. Presentación de formulación a través del uso de Vp y Vs para el cálculo de los parámetros dinámicos (Anexo 9.3).
- Tabla de Clasificación de Suelos. Tabla usada para la clasificación o caracterización de los suelo de acuerdo a la Vs en función a la excitación de un fuente sísmica externa según NEHRP (1993), presentada en el anexo 9.4.
- Tabla de Velocidades. Valores de velocidades sísmicas en función a la ripábilidad del terreno según Caterpillar, edición 23 (Jenny, J. et al, 1999), presentado en el anexo 9.5.
- Tabla de Densidades. Valores que se utilizan para determinar los parámetros dinámicos de cada sección sísmica (Vp y Vs), según Tellford et al, 2001; y se muestra en el anexo 9.6.

 Galería de Fotos. Presentación de fotos que demuestran el levantamiento de trabajo en las diferentes zonas (Ver Anexo 9.8).

6.0 DISCUSION DE RESULTADOS

En este apartado, se describe para cada zona la interpretación de los levantamientos geofísicos:

MASW - SM-01

En el Anexo 9.1.1 y la Tabla 6.1, se muestra el Perfil de Velocidad Final de la Onda de Corte para el (PVF-01), aprecia la diferenciación de capas y subcapas del perfil, de acuerdo al ensayo de MASW.

Tabla 6.1. Velocidad obtenida por el MASW de la onda de Corte.

	S-velocity(m/s)	S-velocity(m/s)	
Depth(m)	Aritmética	Armonica	
0.00	222.98	222.98	
1.07	216.16	216.16	
2.31	242.08	242.08	
3.71	326.01	326.01	
5.27	411.64	411.64	
7.01	448.06	448.06	
8.90	474.36	474.36	
10.96	511.91	511.91	
13.19	546.13	546.13	
15.58	589.00	589.00	
18.13	625.79	625.79	
20.85	653.54	653.54	
23.74	676.53	676.53	
26.79	694.13	694.13	
30.00	698.83	698.83	
Vs 30	489.14	462.59	

Caracterización Sísmica de Suelos, Según NEHRP 1993.

Tipo	Profundidad (m)	Vs_30 (m-s)	Descripción
F	< 2.31		s (Licuables, colapsables, arcillas de muy alta s orgánicos de más de 3 metros de espesor.
E	2.31 - 3.71	< 180	Suelo Blando
D	3.71 – 5.27	180 - 360	Suelo Rígido
С	5.27 - 30.0	360 - 760	Suelo muy Denso y Roca Blanda
В	>30	760 - 1500	Roca
Α	-	> 1500	Roca Dura

Asimismo, de acuerdo a la clasificación de suelos en función a la velocidad Vs30 (Velocidad Promedio de la Onda de corte S en los 30

primeros metros de profundidad, ver Anexo 9.6) dada por la National Earthquake Hazards Reduction Program (NEHRP) en 1993, que señala los intervalos de Vs30 referidos a un tipo de material dependiendo de su comportamiento ante un sismo; los resultados obtenidos en el presente estudio muestran un material analizado que está dentro de la clasificación C, Suelo muy denso y roca blanda, ante la presencia de un Sismo.

MASW – SM-02

En el Anexo 9.1.1 y la Tabla 6.2, se muestra el Perfil de Velocidad Final de la Onda de Corte para el (PVF-02), en el se aprecia la diferenciación de capas y subcapas del perfil, de acuerdo al ensayo de MASW.

Tabla 6.2. Velocidad obtenida por el MASW de la onda de Corte.

	S-velocity(m/s)	S-velocity(m/s)	
Depth(m)	Aritmética	Armonica	
0.00	288.19	288.19	
1.07	281.05	281.05	
2.31	265.40	265.40	
3.71	317.44	317.44	
5.27	430.14	430.14	
7.01	553.24	553.24	
8.90	645.36	645.36	
10.96	701.28	701.28	
13.19	739.20	739.20	
15.58	746.51	746.51	
18.13	753.82	753.82	
20.85	764.68	764.68	
23.74	777.38	777.38	
26.79	790.39	790.39	
30.00	796.19	796.19	
Vs 30	590.02	553.82	

Caracterización Sísmica de Suelos, Según NEHRP 1993.

Tipo	Profundidad (m)	Vs_30 (m-s)	Descripción
F	< 1.07		es (Licuables, colapsables, arcillas de muy alta es orgánicos de más de 3 metros de espesor.
E	1.07 - 2.31	< 180	Suelo Blando
D	2.31 - 3.71	180 - 360	Suelo Rígido
С	3.71 – 7.01	360 - 760	Suelo muy Denso y Roca Blanda
В	7.01 – 30.0	760 - 1500	Roca
Α	>30	> 1500	Roca Dura

Asimismo, de acuerdo a la clasificación de suelos en función a la velocidad Vs30 (Velocidad Promedio de la Onda de corte S en los 30 primeros metros de profundidad, ver Anexo 9.6) dada por la National

Earthquake Hazards Reduction Program (NEHRP) en 1993, que señala los intervalos de Vs30 referidos a un tipo de material dependiendo de su comportamiento ante un sismo; los resultados obtenidos en el presente estudio muestran un material analizado que está dentro de la clasificación C, Suelo muy denso y roca blanda, ante la presencia de un Sismo.

MASW -SM-03

En el Anexo 9.1.1 y la Tabla 6.1, se muestra el Perfil de Velocidad Final de la Onda de Corte para el (PVF-06), en el se aprecia la diferenciación de capas y subcapas del perfil, de acuerdo al ensayo de MASW.

Tabla 6.1. Velocidad obtenida por el MASW de la onda de Corte.

	S-velocity(m/s)	S-velocity(m/s)	
Depth(m)	Aritmética	Armonica	
0.00	323.65	323.65	
1.07	321.87	321.87	
2.31	318.98	318.98	
3.71	339.25	339.25	
5.27	393.38	393.38	
7.01	461.95	461.95	
8.90	550.69	550.69	
10.96	614.44	614.44	
13.19	683.04	683.04	
15.58	735.30	735.30	
18.13	756.59	756.59	
20.85	774.92	774.92	
23.74	793.57	793.57	
26.79	813.37	813.37	
30.00	828.25	828.25	
Vs 30	580.62	554.42	

Caracterización Sísmica de Suelos, Según NEHRP 1993.

Tipo	Profundidad (m)	Vs_30 (m-s)	Descripción
F	< 1.07		es (Licuables, colapsables, arcillas de muy alta os orgánicos de más de 3 metros de espesor.
E	1.07 - 2.31	< 180	Suelo Blando
D	2.31 - 5.27	180 - 360	Suelo Rígido
С	5.27 – 13.19	360 - 760	Suelo muy Denso y Roca Blanda
В	13.19 – 30.0	760 - 1500	Roca
Α	>30	> 1500	Roca Dura

Asimismo, de acuerdo a la clasificación de suelos en función a la velocidad Vs30 (Velocidad Promedio de la Onda de corte S en los 30 primeros metros de profundidad, ver Anexo 9.6) dada por la National

Earthquake Hazards Reduction Program (NEHRP) en 1993, que señala los intervalos de Vs30 referidos a un tipo de material dependiendo de su comportamiento ante un sismo; los resultados obtenidos en el presente estudio muestran un material analizado que está dentro de la clasificación D, Roca Blanda, ante la presencia de un Sismo.

6.1. SECCION GEOELECTRICA

SEV – 01

Capa	Potencia (m)	Resistividad (Ωm)	Descripción
1	0.53	4.70	Capa compuesto de arena limosa o costras de arena
2	1.60	1.90	con caliche cubiertos con arena eólica.
3	2.70	0.37	
4	2.40	0.61	Capa compuesto de arena limosa con intercalaciones
5	21.00	0.87	de arcilla algo arenoso, en algunos tramos cementados y plásticas húmedas.
6	9.70	0.30	
6	>50	1.60	Capa compuesto de arena limosa con intercalaciones de arcilla algo arenoso, en algunos tramos cementados.





7.0 CONCLUSIONES

- El levantamiento geofísico de campo (MASW y SEV), se completó dentro de la programación establecida, y los regímenes de seguridad interna de la empresa aplicados a la zona.
- De acuerdo a los gráficos de Velocidad de Fase vs Frecuencia se puede deducir que la información fue adquirida con una alta relación de Señal – Ruido, ya que las curvas de atenuación se presentan de forma suave.
- Según los resultados de los ensayos realizados no se pudo encontrar material competente y/o roca, esto debido, y según la información geológica de la zona indican la una cuenca sedimentaria constituido por antiguas llanuras inundables compuestos de arena en algunas zonas englobados en matriz areno limoso semi consolidados cubiertos totalmente por depósitos de naturaleza eólica.
- Según los resultados obtenidos de los ensayos SM-01 y SM-02 se puede indicar que según la clasificación sísmica de suelos de (NEHERP), el tipo de suelo es de clasificación "C", suelo muy denso a roca blanda, según información proporcionada de perforaciones.
- En el ensayo SM-03, según la clasificación sísmica de suelos de (NEHRP), el tipo de suelo es de clasificación "B", Roca Blanda, en profundidad, esto debido al grado de cementación de los materiales presentes en la zona, pero esto no indica la presencia de roca.
- De los resultados de resistividad obtenida en campo se puede indicar que el medio donde se realizó el ensayo es de baja resistividad, esto por los depósitos lagunares existentes en la zona y compuestos de arenas en matriz limo-arcilloso, con presencia de sales en un medio húmedo, cubiertos por arena eólica, no se pudo encontrar roca.

8.0 RECOMENDACIONES

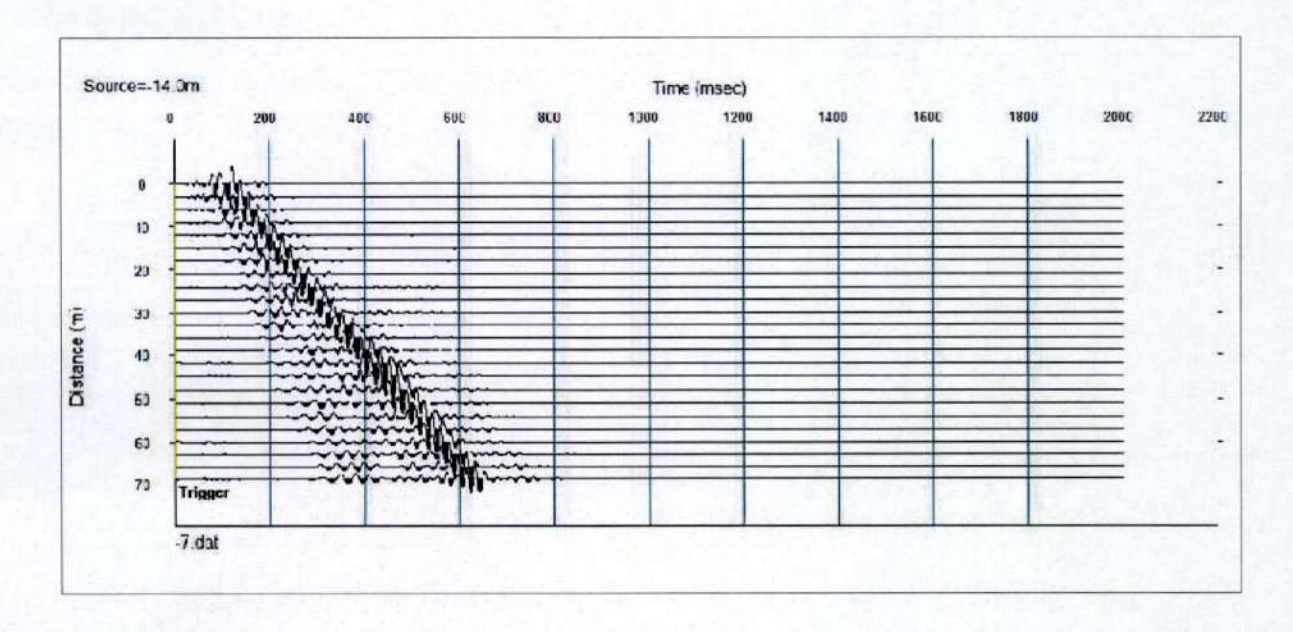
- Los métodos Geofísico de MASW y SEV, son ensayos indirectos por medio de emisión y recepción de ondas acústicas y que tiene un grado de aproximación aceptable. Por tal razón, se recomienda correlacionar los parámetros de velocidad con estructuras geológicas a lo largo de todos los perfiles sísmicos, así como utilizar información obtenida de métodos directos tales como calicatas y perforaciones; y poder darle un mayor grado de precisión en el estudio (Caso realizado en este estudio).
- Por otro lado, se debe contrastar y definir cada estrato con la información geológica geotécnica de la zona de estudio, con fines de congruir con las mismas nomenclaturas (caso realizado para la identificación de cada estrato de las diferentes zonas de estudio).
- Realizar más ensayos geofísicos que puedan llegar a mayor profundidad esto con la finalidad de encontrar suelos competentes y/o roca, donde pueden construir los componentes.

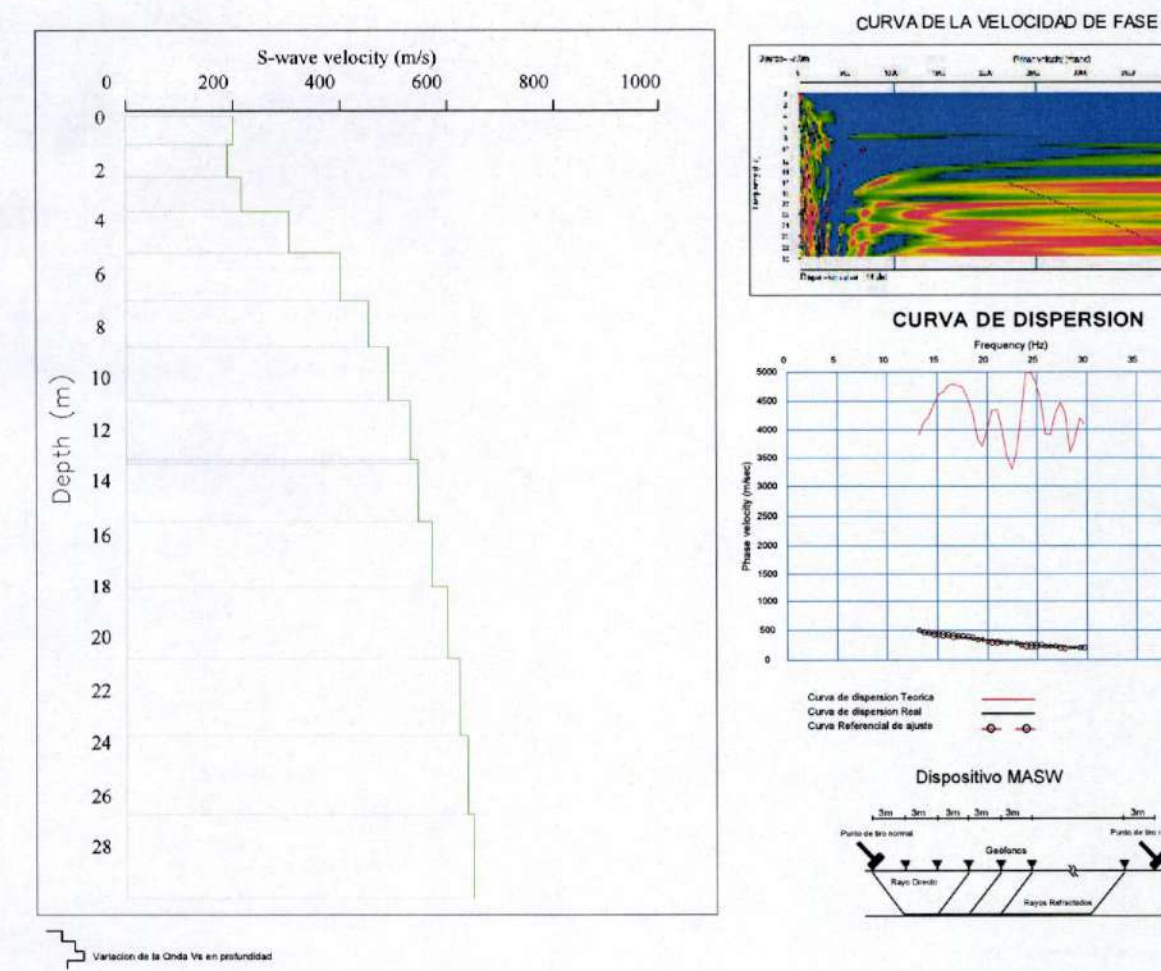
9.0 ANEXOS

9.1 PLANO DE UBICACIÓN (PU-01 y PU-02)

9.1.1 PERFILES DE CURVA DE DISPERSION

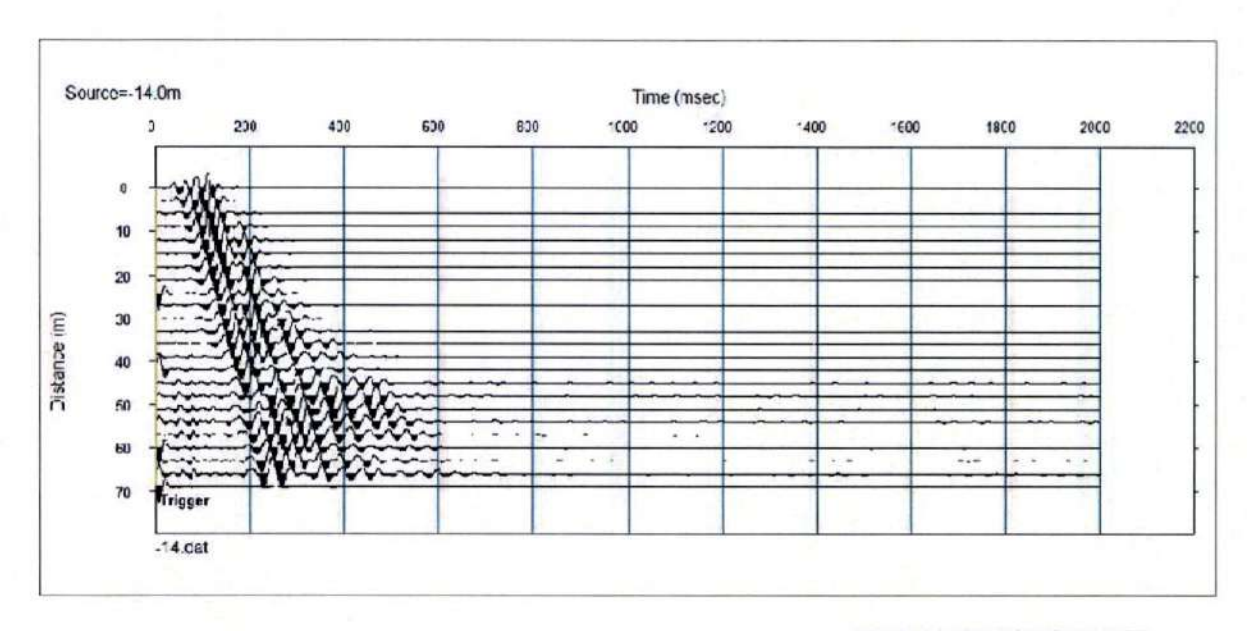
PERFIL DE CURVA DE DISPERSION Y VELOCIDAD DE ONDA DE CORTE 1D MASW SM-01

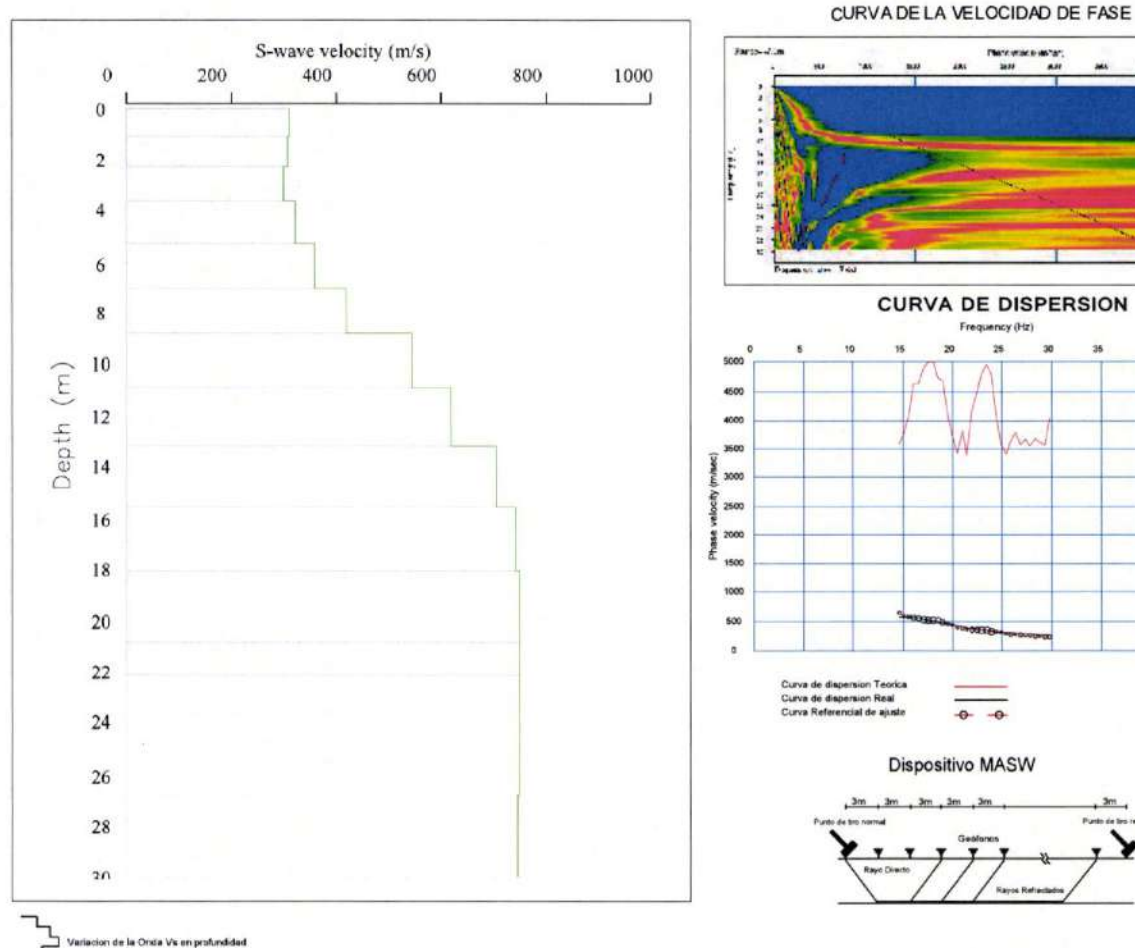




SIGA	EMPRESA ESPECIALIZADA		EOFISICO DE MASW EOLICO MORROPE"	
	ENSAYO DE MASW SM-01	REALIZADO POR Oscar Calle	GRÁFICA	DI/C 04
	PERFILES DE INTERPRETACION	REVISADO FOR Glicerio Fdez	JULIO 2015	PVF-01

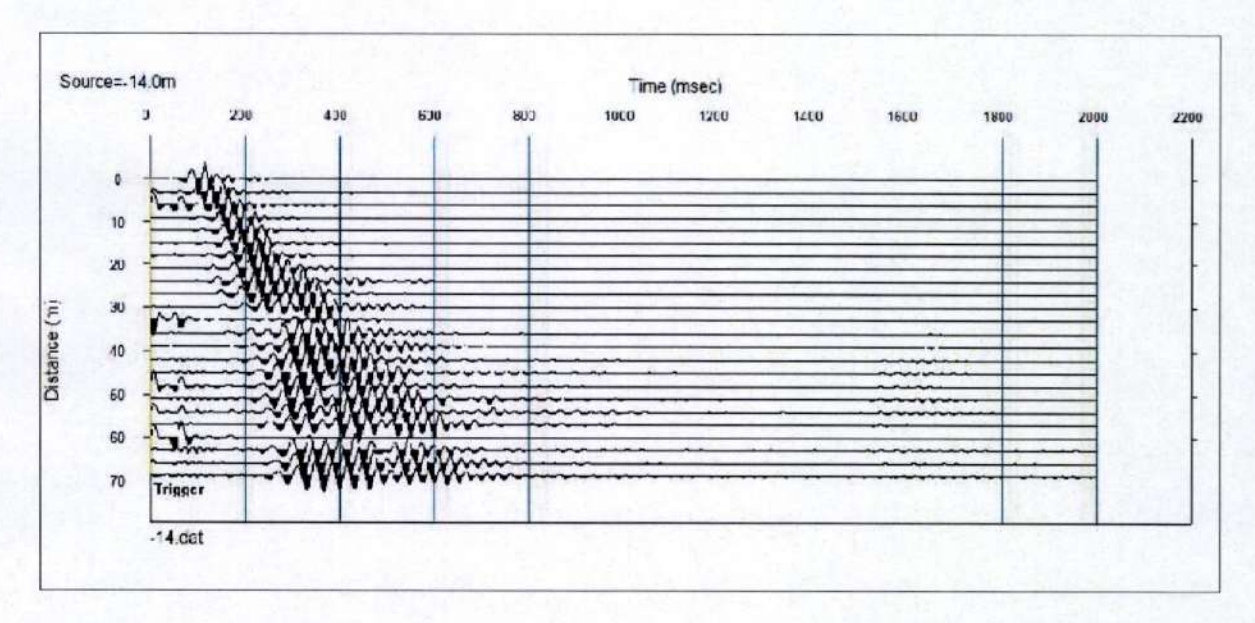
PERFIL DE CURVA DE DISPERSION Y VELOCIDAD DE ONDA DE CORTE 1D MASW SM-02

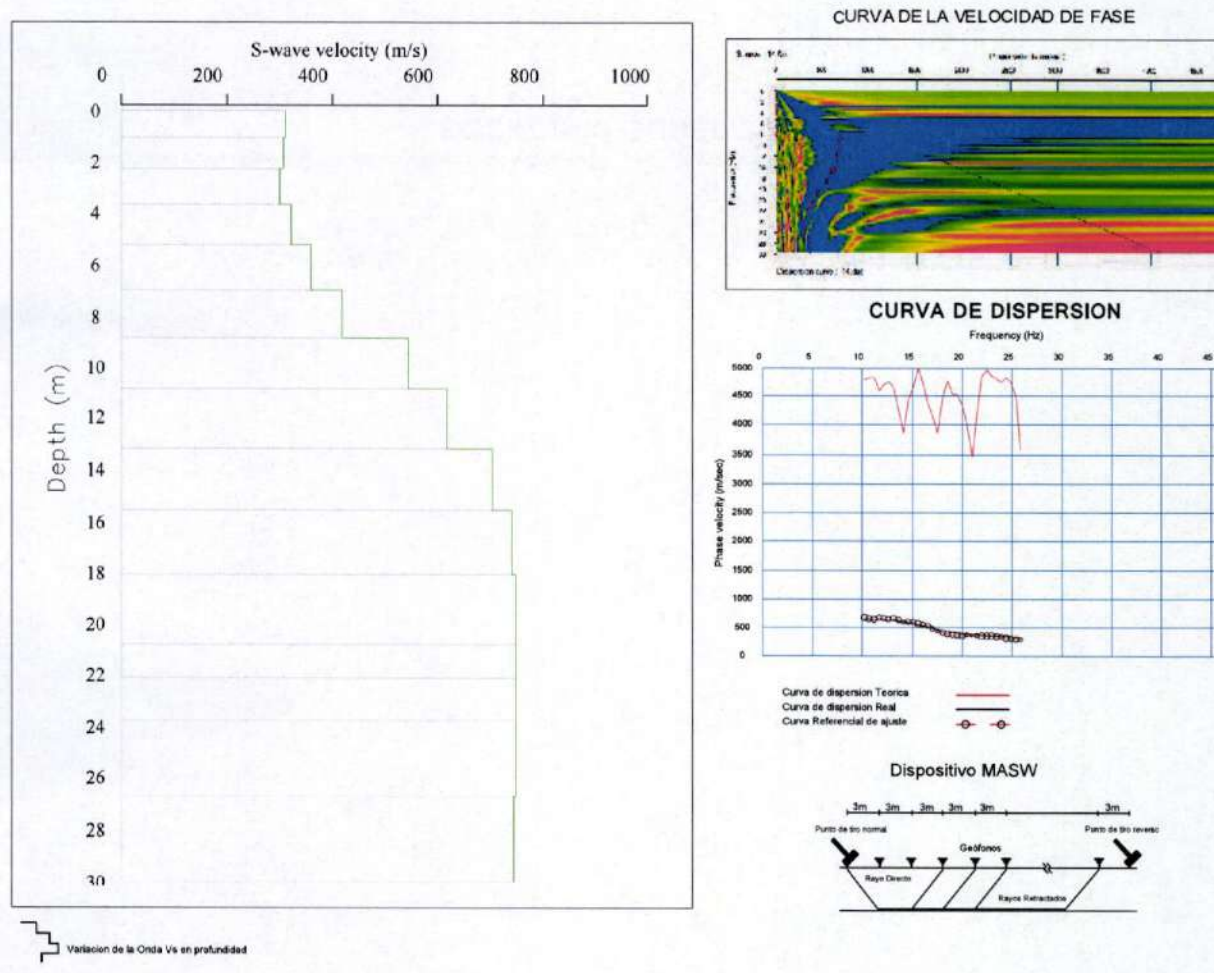






PERFIL DE CURVA DE DISPERSION Y VELOCIDAD DE ONDA DE CORTE 1D MASW SM-03





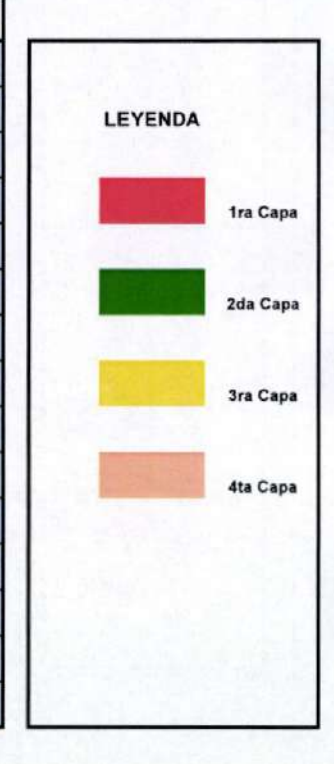


INVESTIGACIÓN GEOFÍSICA - ENSAYO DE MASW Y SEV

9.1.2 PARAMETROS SEUDO DINAMICOS

PARAMETROS SEUDODINAMICOS MASW - SM-01

Profundidad Capa	Punto MASW	Velocidad Vp (Calculado)	Velocidad Vs (MASW)	Modulo de Corte (G) Modulo Young (F)			Modulo de Corte (G)		Modulo de Corte (G) Modulo Young (E)		Modulo E	Bulk (K)
(m)		(m/s)	(m/s)	d (kg/m3)	*p	G (Nt/m2)	(Mpa)	E (Nt/m2)	(Mpa)	K (Nt/m2)	(Mpa)	
0,00	MASW-SM-01	1539,00	222,98	1812,56	0,49	2,43E+04	0,02	8,82E+07	0,07	1,13E+06	1,13	
1,07	MASW-SM-01	1533,85	216,16	1812,56	0,49	2,29E+04	0,02	8,30E+07	0,07	1,12E+06	1,12	
2,31	MASW-SM-01	1561,69	242,08	1817,81	0,49	2,86E+04	0,03	1,04E+08	0,09	1,15E+06	1,15	
3.71	MASW-SM-01	1650,53	326,01	1837,12	0,48	5,10E+04	0,05	1,87E+08	0,15	1,24E+06	1,24	
5,27	MASW-SM-01	1744,56	411,64	1862,94	0,47	7,97E+04	0,08	2,97E+08	0,23	1,33E+06	1,33	
7,01	MASW-SM-01	1787,38	448,06	1878,61	0,47	9,36E+04	0,09	3,52E+08	0,27	1,37E+06	1,37	
8,90	MASW-SM-01	1819,84	474,36	1892,59	0,46	1,04E+05	0,10	3,95E+08	0,31	1,40E+06	1,40	
10,96	MASW-SM-01	1862,95	511,91	1906,94	0,46	1,20E+05	0,12	4,59E+08	0,35	1,43E+06	1,43	
13,19	MASW-SM-01	1899,52	546,13	1914,71	0,45	1,36E+05	0,14	5,20E+08	0,39	1,46E+06	1,46	
15,58	MASW-SM-01	1943,65	589,00	1921,11	0,45	1,56E+05	0,16	5,99E+08	0,45	1,49E+06	1,49	
18,13	MASW-SM-01	1980,42	625,79	1923,74	0,44	1,74E+05	0,17	6,70E+08	0,50	1,51E+06	1,51	
20,85	MASW-SM-01	2007,62	653,54	1923,74	0,44	1,88E+05	0,19	7,25E+08	0,54	1,53E+06	1,53	
23,74	MASW-SM-01	2030,54	676,53	1923,74	0,44	2,00E+05	0,20	7,71E+08	0,58	1,54E+06	1,54	
26,79	MASW-SM-01	2048,49	694,13	1923,74	0,44	2,10E+05	0,21	8,07E+08	0,60	1,55E+06	1,55	
30,00	MASW-SM-01	2053,22	698,83	1923,74	0,43	2,12E+05	0,21	8,17E+08	0,61	1,55E+06	1,55	

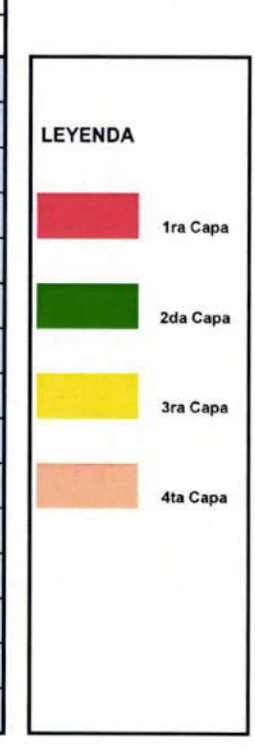


PARAMETROS	Proyecto: P.E. MORROPE
PSEUDODINAMICOS	Fecha: JULIO - 2015

(*) Valores de densidad obtenidos de Tellford et al, 2001

PARAMETROS SEUDODINAMICOS MASW - SM-02

Profundidad Capa	Punto MASW	Velocidad Vp (Calculado)	Velocidad Vs (MASW)	Densidad Estimada (*)	Razón de Poisson (µ)	son Modulo de Corte (G)		Modulo Yo	oung (E)	Modulo E	Bulk (K)
(m)		(m/s)	(m/s)	d (kg/m3)	*р	G (Nt/m2)	(Mpa)	E (Nt/m2)	(Mpa)	K (Nt/m2)	(Mpa)
0,00	MASW-SM-02	1564,98	288,19	1833,23	0,48	4,01E+04	0,04	1,47E+08	0,12	1,13E+06	1,13
1,07	MASW-SM-02	1556,73	281,05	1833,23	0,48	3,82E+04	0,04	1,40E+08	0,11	1,12E+06	1,12
2,31	MASW-SM-02	1580,71	265,40	1831,95	0,49	3,42E+04	0,03	1,25E+08	0,10	1,17E+06	1,17
3,71	MASW-SM-02	1659,31	317,44	1845,02	0,48	4,85E+04	0,05	1,79E+08	0,14	1,26E+06	1,26
5,27	MASW-SM-02	1770,06	430,14	1871,64	0,47	8,67E+04	0,09	3,25E+08	0,25	1,35E+06	1,35
7,01	MASW-SM-02	1886,58	553,24	1904,53	0,45	1,39E+05	0,14	5,28E+08	0,40	1,43E+06	1,43
8,90	MASW-SM-02	1981,00	645,36	1931,88	0,44	1,84E+05	0,18	7,09E+08	0,53	1,48E+06	1,48
10,96	MASW-SM-02	2042,45	701,28	1949,97	0,43	2,13E+05	0,21	8,31E+08	0,61	1,52E+06	1,52
13,19	MASW-SM-02	2078,72	739,20	1962,44	0,43	2,34E+05	0,23	9,18E+08	0,67	1,54E+06	1,54
15,58	MASW-SM-02	2086,86	746,51	1963,89	0,43	2,38E+05	0,24	9,34E+08	0,68	1,54E+06	1,54
18,13	MASW-SM-02	2096,33	753,82	1963,89	0,43	2,42E+05	0,24	9,51E+08	0,69	1,55E+06	1,55
20,85	MASW-SM-02	2105,57	764,68	1963,89	0,42	2,48E+05	0,25	9,74E+08	0,71	1,55E+06	1,55
23,74	MASW-SM-02	2113,69	777,38	1963,89	0,42	2,55E+05	0,25	1,00E+09	0,72	1,54E+06	1,54
26,79	MASW-SM-02	2120,40	790,39	1963,89	0,42	2,62E+05	0,26	1,03E+09	0,74	1,54E+06	1,54
30,00	MASW-SM-02	2121,31	796,19	1963,89	0,42	2,65E+05	0,26	1,04E+09	0,75	1,53E+06	1,53



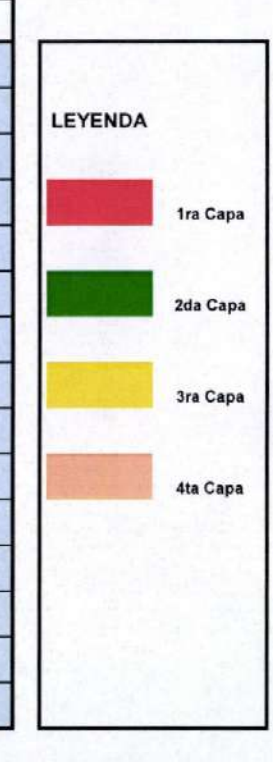
PARAMETROS	Proyecto: P.E. MORROPE
PSEUDODINAMICOS	Fecha: JULIO - 2015

(*) Valores de densidad obtenidos de Tellford et al, 2001



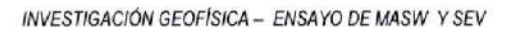
PARAMETROS SEUDODINAMICOS MASW - SM-03

Profundidad Capa	Punto MASW	Velocidad Vp (Calculado)	Velocidad Vs (MASW)	Densidad Estimada (*)	Razón de Poisson (μ)	Modulo de	Corte (G)	Modulo Yo	oung (E)	Modulo I	Bulk (K)
(m)		(m/s)	(m/s)	d (kg/m3)	*p	G (Nt/m2)	(Mpa)	E (Nt/m2)	(Mpa)	K (Nt/m2)	(Mpa)
0,00	MASW-SM-03	1620,68	323,65	1847,09	0,48	5,02E+04	0,05	1,86E+08	0,15	1,19E+06	1,19
1,07	MASW-SM-03	1618,63	321,87	1847,09	0,48	4,97E+04	0,05	1,84E+08	0,15	1,19E+06	1,19
2,31	MASW-SM-03	1614,50	318,98	1846,88	0,48	4,88E+04	0,05	1,80E+08	0,14	1,19E+06	1,19
3,71	MASW-SM-03	1636,32	339,25	1853,38	0,48	5,50E+04	0,05	2,04E+08	0,16	1,21E+06	1,21
5,27	MASW-SM-03	1704,89	393,38	1869,76	0,47	7,30E+04	0,07	2,73E+08	0,21	1,27E+06	1,27
7,01	MASW-SM-03	1779,56	461,95	1889,82	0,46	9,90E+04	0,10	3,74E+08	0,29	1,34E+06	1,34
8,90	MASW-SM-03	1881,18	550,69	1916,17	0,45	1,37E+05	0,14	5,27E+08	0,40	1,42E+06	1,42
10,96	MASW-SM-03	1959,76	614,44	1934,19	0,45	1,68E+05	0,17	6,51E+08	0,49	1,49E+06	1,49
13,19	MASW-SM-03	2037,48	683,04	1953,62	0,44	2,04E+05	0,20	7,96E+08	0,59	1,54E+06	1,54
15,58	MASW-SM-03	2116,05	735,30	1966,99	0,43	2,33E+05	0,23	9,18E+08	0,67	1,62E+06	1,62
18,13	MASW-SM-03	2133,70	756,59	1969,41	0,43	2,45E+05	0,25	9,66E+08	0,70	1,62E+06	1,62
20,85	MASW-SM-03	2152,08	774,92	1970,00	0,43	2,56E+05	0,26	1,01E+09	0,73	1,63E+06	1,63
23,74	MASW-SM-03	2170,99	793,57	1970,00	0,42	2,66E+05	0,27	1,05E+09	0,76	1,64E+06	1,64
26,79	MASW-SM-03	2189,84	813,37	1970,00	0,42	2,78E+05	0,28	1,10E+09	0,79	1,64E+06	1,64
30,00	MASW-SM-03	2199,97	828,25	1970,00	0,42	2,86E+05	0,29	1,13E+09	0,81	1,64E+06	1,64



PARAMETROS	Proyecto: P.E. MORROPE
PSEUDODINAMICOS	Fecha: JULIO - 2015

(*) Valores de densidad obtenidos de Tellford et al, 2001



9.2 SONDAJE ELECTRICO VERTICAL – SEV: CURVAS Y PERFILES





PERFIL GEOELÉCTRICO - SEV-01

PROYECTO: PARQUE OELICO MORROPE

OPERADOR: O.C.

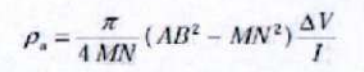
INTERPRETACIÓN: G.F.J.

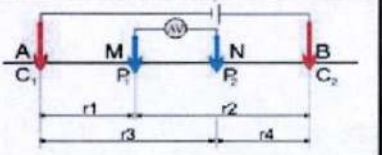
RESISTIVIMETRO: SYSCAL PRO

SEV: SEV-01

DISPOSITIVO: SCHLUMBERGER

LUGAR: MORROPE FECHA: 20-07-2015





	METRO: ST				_	FECHA: 20-07-2015	
AB/2	MN	K	ΔV	1	ра	GRÁFICO DE RESISTIVIDAD ((Ohm-m)	10
(m)	(m)		(mV)	(mA)	(Ohm-m)		1 10
1,0	1,0	2,4	574,90	375	3,61		50. 100
2,0	1,0	11,8	88,52	496	2,10		[ohm·r
3,0	2,0	12,6	50,40	376	1,68		[OIIII11
5,0	2,0	37,7	20,57	859	0,90		11
7,0	2,0	75,4	7,70	834	0,70		387/11
10,0	2,0	155,5	3,45	890	0,60		
10,0	10,0	23,6	27,04	897	0,71		-
15,0	10,0	62,8	22,28	1821	0,77		
20,0	10,0	117,8	10,96	1625	0,79		
30,0	10,0	274,9	2,87	880	0,90		1
40,0	10,0	494,8	2,57	1390	0,91		
50,0	10,0	777,5	1,85	1550	0,93		
50,0	20,0	377,0	3,82	1520	0,95		
70,0	20,0	754,0	1,46	1134	0,97		
100,0	20,0	1555,1	0,96	1328	1,12		9
			F-112 USA		1	[2] [2] [2] [2] [2] [2] [2] [2] [2] [2]	
	0 10	le la		E HE K	8,000		
siliy say				776		[1] # [1] [1] [1] [1] [1] [1] [1] [1] [1] [1]	
105		019.07		14.50	100	[1] [12] [14] [15] [15] [16] [16] [16] [16] [16] [16] [16] [16	4
				2314		1 10 100 AB/2 [m]	1.1
	7					1 10 100 AB/2 [m]	1000

pa : Valor de Resistividad Aparente (ohm-m)

AB/2 : Espaciamiento de Electrodos (m)
MN : Espaciamiento de Electrodos (m)

Coeficiente Geométrico del Dispositivo

ΔV : Diferencia de Voltaje (mV)

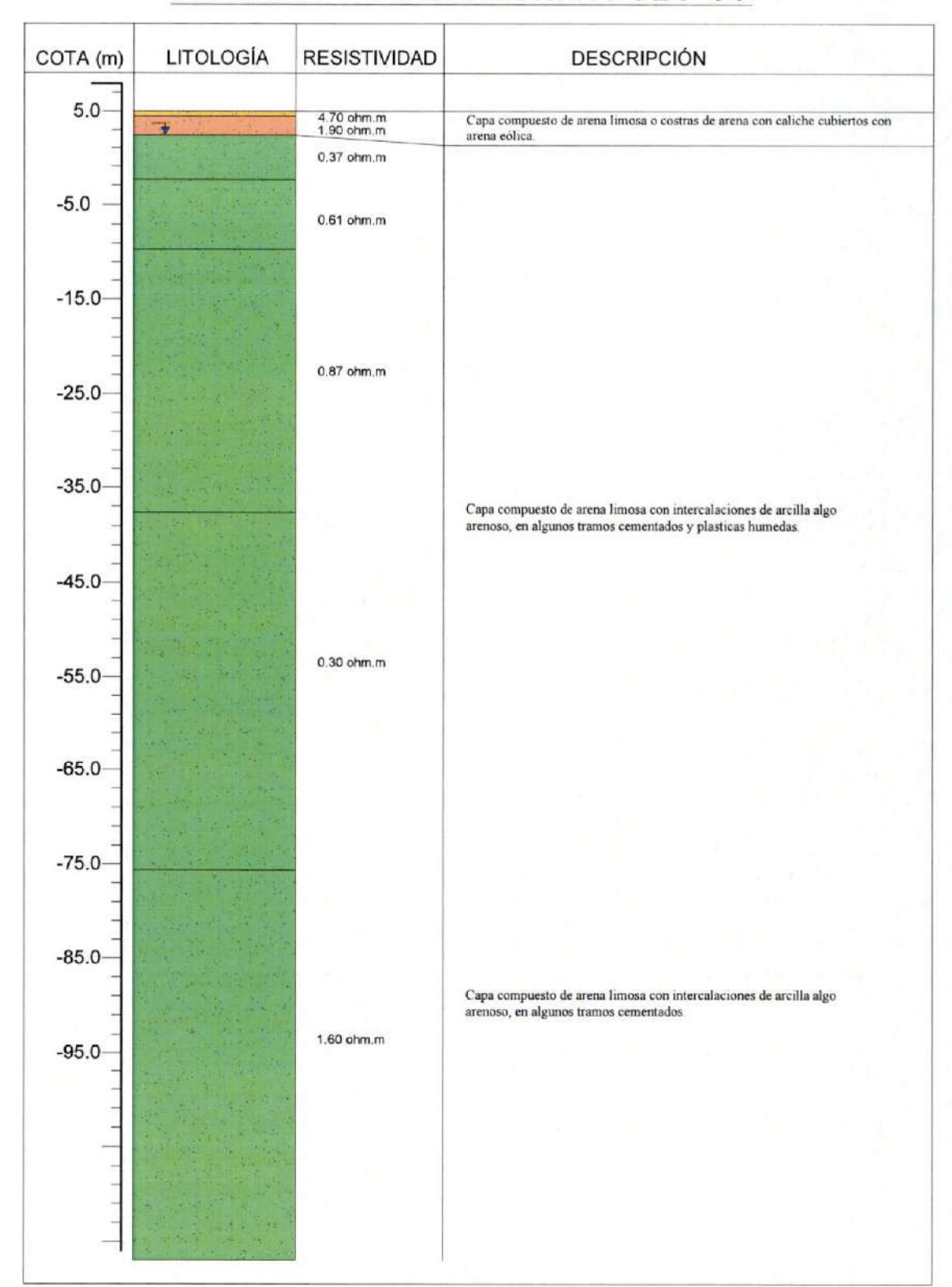
I : Intensidad de Corriente Inyectada (mA)

COORDENADAS: WGS-84

ESTE: 606234,00 NORTE: 9263185,00 ALTITUD: 5 msnm

	Resistivity	Thickness	Depth	Altitud	
	4,70	0,53		5,00	
	1,90	1,60	0,53	4,47	(F) (A)
	0,37	2,70	2,13	2,87	- 0
	0,61	2,40	4,83	0,17	
	0,87	21,00	7,23	-2,23	
-	0,30	9,70	28,23	-23,23	
	1,60		37,93	-32,93	E

SECCION GEOELECTRICA SEV-01



SOLICITADO POR: REALIZADO POR:	PROYECTO "PARQUE EÓ) DLICO MORRO	PE"
INTERPRETACIÓN DEL SEV 01	REALIZADO POR Oscar Calle.	ESCALA: Gráfica	LAMINA:
MÉTODO SONDAJE ELÉCTRICO VERTICAL	REVIZADO POR Glicerio Fdez.	FECHA: Julio - 2015	PR-01

INVESTIGACIÓN GEOFÍSICA - ENSAYO DE MASW Y SEV

9.3 ECUACIONES MATEMATICAS (PARAMETROS DINAMICOS)

PARAMETROS DINAMICOS DEL SUBSUELO (CONSTANTES ELÁSTICAS)

- Módulo de volumen (incompresibilidad volumétrica) (K)
- Módulo de Young (E)
- Primera constante de Larae ()
- Módulo de Cizalla (rigidez) (G)
- Coeficiente de Poisson (v)
- Densidad Promedio (p)

$$K = \frac{E}{3(1-2v)}$$

$$E = 2G(1+v)$$

$$G = pV_s^2$$

$$v = \frac{\left(\frac{Vp}{Vs}\right)^2 - 2}{2\left(\frac{Vp}{Vs}\right)^2 - 2}$$

Casos Específicos: Capacidad de Carga (Bearing capacity)

$$q_a = 2.4 (10^{-4})pV_s$$

Relación de Vp/Vs según Poisson (v)

Vp/Vs	1,63	1,73	1,87
σ	0,20	0,25	0,3

Según Ukawa y Fukao 1981 – Huarachi P. 2003

9.4 TABLA DE CLASIFICACIÓN DE SUELOS (Norma IBC 2000 y NEHRP)

	IBC TA	ABLE 1615.1.1: Sit	e Class Definitions (NE	HRP)					
Site		Average properties in top 30 m, as per section 1615.1.5							
	Soil profile name	Soils shear wave velocity, ns, (m/s)	Standard penetration resistance, N	Soil undrained shear strength, Su (psf)					
A	Hard Rock	ns > 1500	Not applicable	Not applicable					
В	Rock	760 < n _s ≤ 1500	Not applicable	Not applicable					
С	Very dense soil & soft rock	360 < n _s ≤ 760	N > 50	Su ≥ 2000					
D	Stiff soil profile	180 < n _s ≤ 360	15 ≤ N ≤ 50	1000 ≤ Su ≤ 2000					
E	Soft soil profile	ns < 180	N<15	Su < 1000					
Е		Any profile with more than 10 feet of soil having the following characteristic 1. Plasticity index PI > 20; 2. Moisture content w ≥ 40%, and 3. Undrained shear strength Su < 1000							
F	·	Soils vulnerable to poliquefiable soils, quick and Peats and/or highly owhere H = thickness of the Very high plasticity of	s having one or more of the followin tential failure or collapse under seischighly sensitive clays, collapsible w rganic clays (H > 3.048m of peat an soil) lays (H > 7.62m with plasticity inde- um stiff clays (H > 36.576m)	mic loading such as eakly cemented soils. d /or highly organic clay					

Caracterización sísmica de suelos, según NEHRP (1993)

Tipo	VS 30 (m/s)	Descripción
Α	>1500	Roca dura
В	760 – 1500	Roca
С	360 – 760	Suelo muy denso y Roca Blanda
D	180 – 360	Suelo rígido
E	< 180	Suelo Blando
F		licuables, colapsables, arcillas de muy alta es orgánicos de más de 3 m de espesor)

9.5 TABLA DE VELOCIDADES (Caterpillar Matériels)

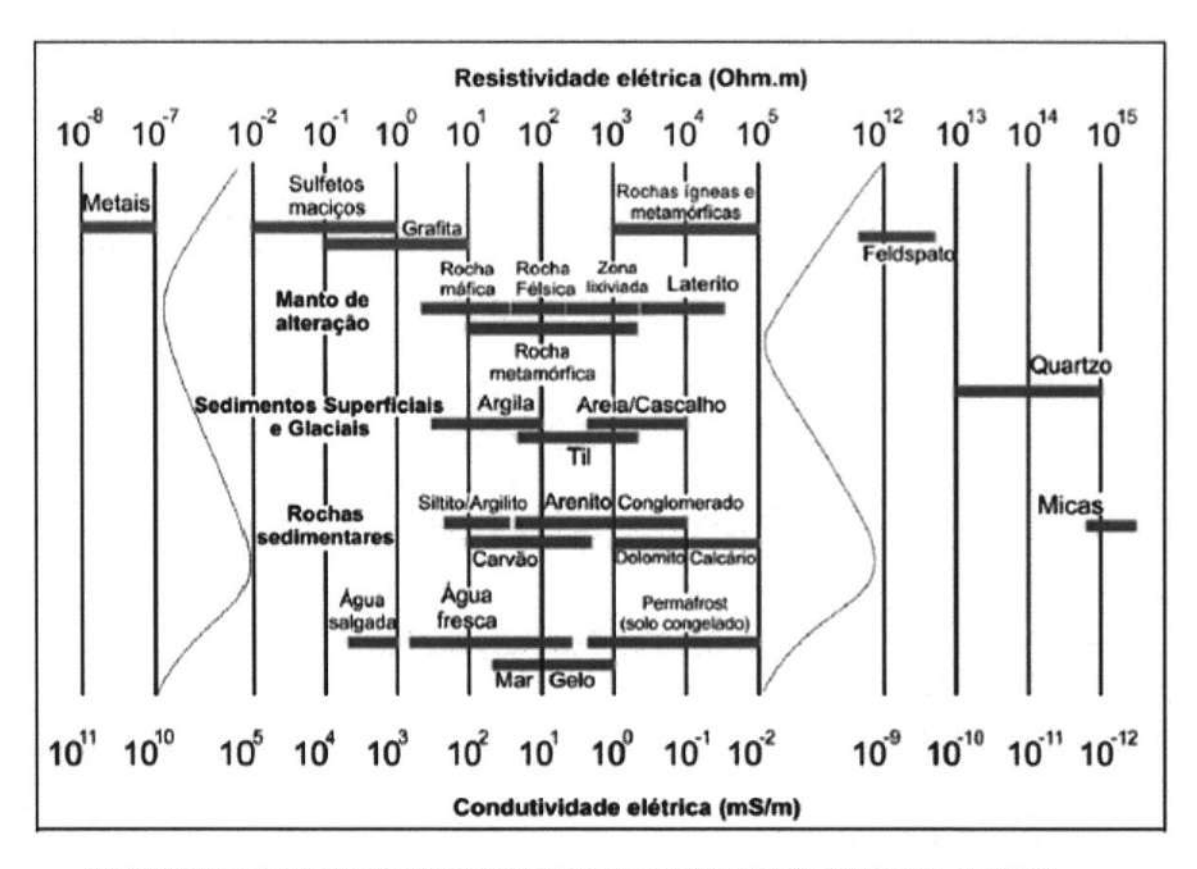
Velocidades Sísmicas de Materiales: Jenny, J. et al 1999 (Caterpillar matériels et métho de, edición 23)

Vitesses sismiques en mètres/seconde	5	0	5	0	2	5	7	0	2	5	7	0	2 5	5	7 5	0
T				0	0	0	0	0	0	0	0	0	0	0	0	0
Terrains superficiels	102		L	⊢	_	_	⊢	_	_	_	⊢	_	_	⊢		L
Argiles			L	L				\perp			L	Ш		L		L
Moraine								33				18	8		1	
Roches ignées													1-8			1
Granite														1		
Basalte																
Roches sédimentaires												- 3				
Shale																100
Grès	THE STATE OF															
Silstone											E					
Argilites															30	
Conglomérats													23			
Brêches	10										Г			3		
Croûte calcaire										Г				Г		
Calcaire	177										28			Г		
Roches métamorphiques											Г				100	100
Schistes cristallins	77								10		Г		100	3		10
Ardoises	10														1	
Minéraux, mat. premières																336
Charbon	100														1	
Minerai de fer	爅										ā,				1	
						1				20	te	1			1	
		Ri	pal	ble	į		M	lar	gir	al		No	n	rip	ab	le

Ripable: Material que se remueve empleando únicamente dedo mecánico.

Marginal: Material que se remueve empleando pala mecánica. Non Ripable: Material que se remueve con el uso de explosivos. 9.6 Tabla de Densidades (Tellford et al, 2001.)

9.7 TABLA DE RESISTIVIDADES TEORICOS



INTERVALO DE VALORES DE RESISTIVIDAD ELECTRICA DE ALGUNOS MATERIALES GEOLOGICOS (ADAPTADO DE ORELLAMA 1972; PALACKY 1988)

Densidades de Rocas y Suelos (Tellford et al, 2001)

Tipo de Roca	Rango (g/cm³)	Promedio (g/cm³)	Tipo de Roca	Rango (g/cm³)	Promedio (g/cm³)		
Sedimentos			Rocas Ígneas				
Regolito	-	1.92	Riolitas	2.35 - 2.70	2.52		
Suelo	1.2 - 2.4	1.92	Andesita	2.4 - 2.8	2.61		
Arcilla	1.63 - 2.6	2.21	Granito	2.50 - 2.81	2.64		
Grava	1.7 - 2.4	2.0	Grano Diorita	2.67 - 2.79	2.73		
Arena	1.7 – 2.3	2.0	Porfirica	2.60 - 2.89	2.74		
Arenisca	1.61 - 2.76	2.35	Cuarzodiorita	2.62 - 2.96	2.79		
Lutitas	1.77 - 3.2	2.40	Diorita	2.72 - 2.99	2.85		
Limonitas	1.93 - 2.90	2.55	Lavas	2.80 - 3.00	2.90		
Dolomita	2.28 - 2.90	2.70	Diabasa	2.50 - 3.20	2.91		
Rocas Sediment. (Promedio)	-	2.50	Basalto	2.70 - 3.30	2.99		
Rocas Metamórfi	cas		Gabro	2.70 - 3.50	3.03		
Serpentina	2.4 - 3.10	2.78	Peridotitas	2.78 - 3.37	3.15		
Cuarzita	2.5 - 2.70	2.60	Rocas Igneas Ácidas (Promedio)	2.30 - 3.11	2.61		
Esquistos	2.39 - 2.9	2.64	Rocas Igneas Básicas (Promedio)	2.09 - 3.17	2.79		
Metawacas	2.6 - 2.7	2.65					
Mármol	2.6 - 2.9	2.75					
Rocas Metamorf. (Promedio)	2.4 - 3.1	2.74					
Різапа	2.7 - 2.9	2.79]				
Gneis	2.59 - 3.0	2.80	7				
Anfibolita	2.90 - 3.04	2.96					

9.8 GALERIA DE FOTOS

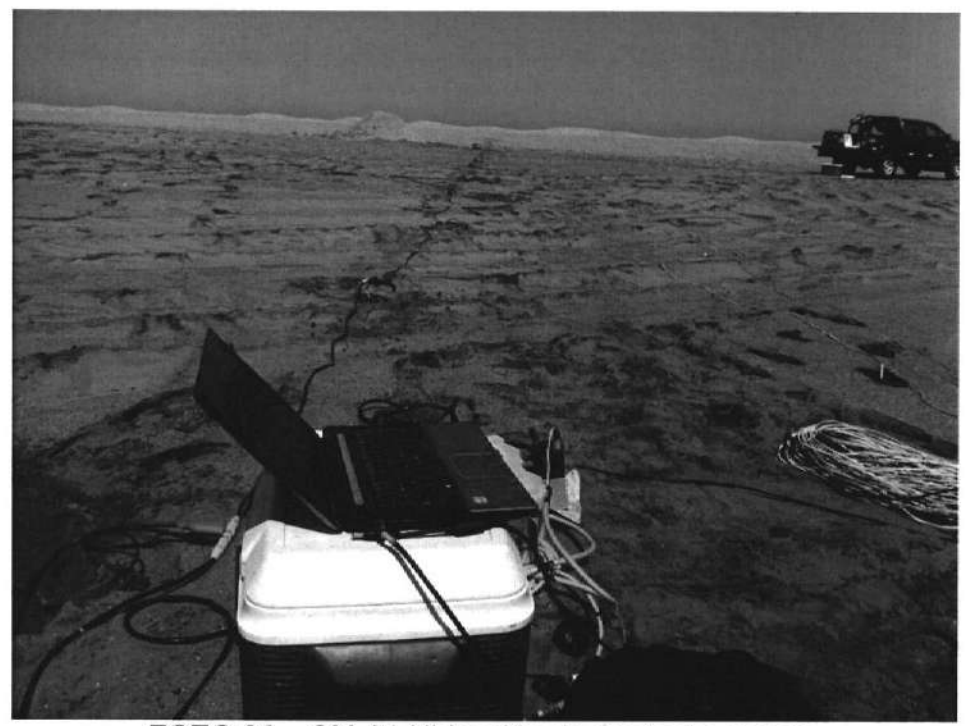


FOTO 01 SM-01 Ubicación de punto de ensayo



SM-01 Tendido de cables sísmico



FOTO 03 SM-02 Ubicación de punto de ensayo

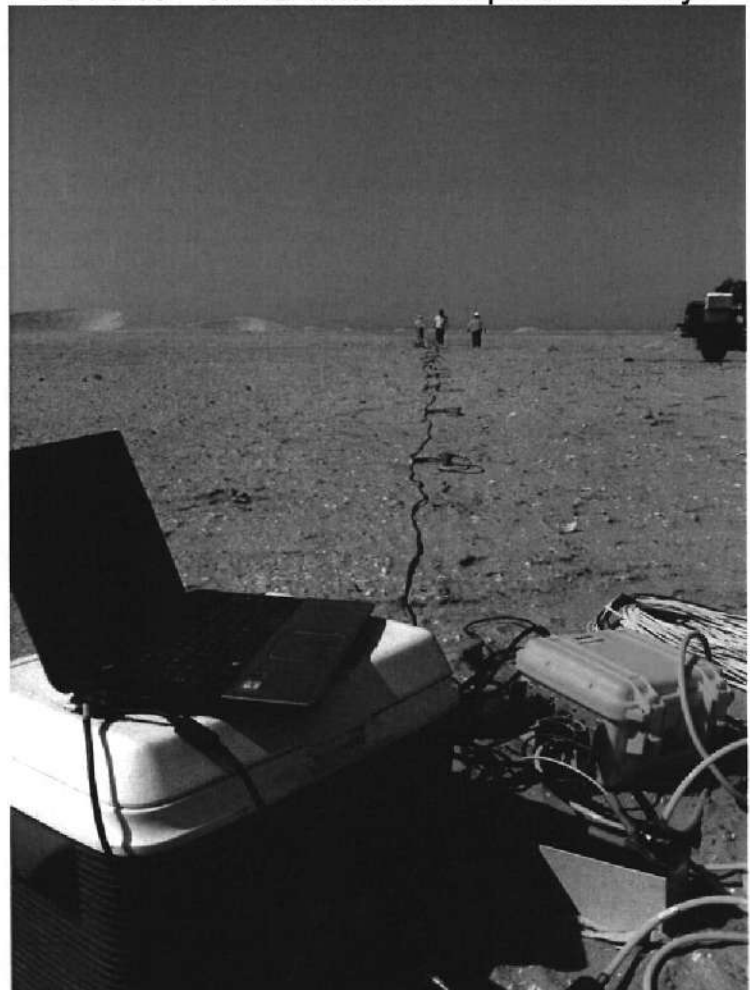


FOTO 04 SM-02 Tendido de cables sísmico

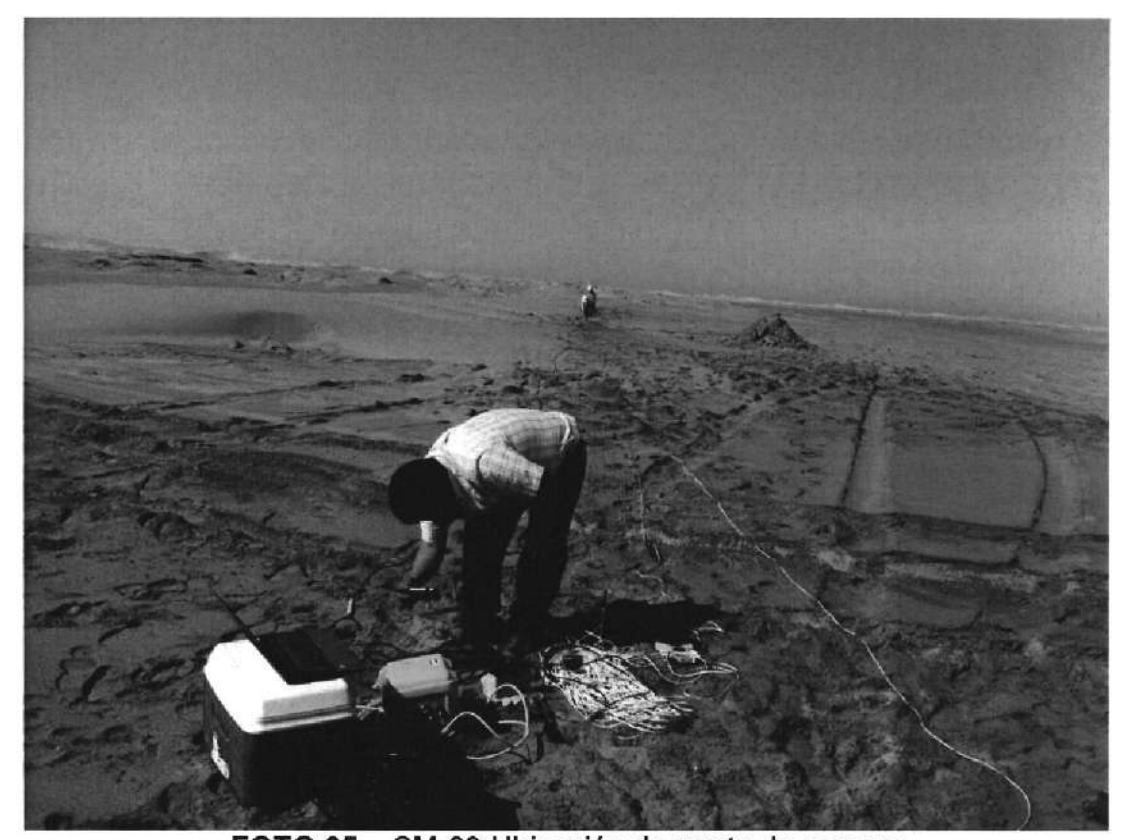




FOTO 06 SEV-01Tendido de cables electricos

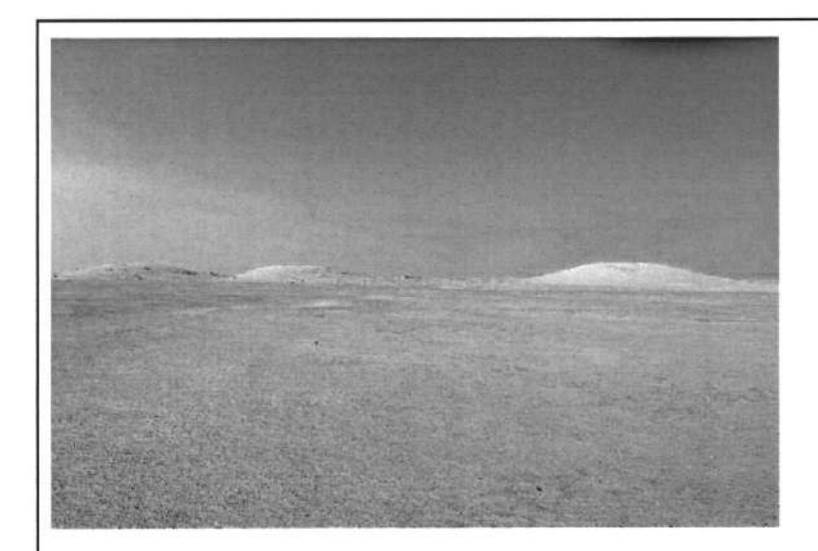


ANEJO 5

REPORTAJE FOTOGRÁFICO







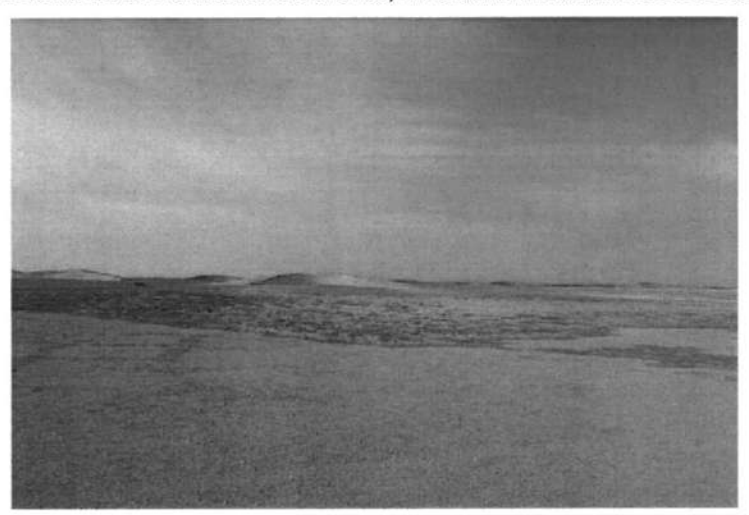
Zona de dunas en en torno de AE2



Zona en entorno de AE5



Detalle de afloramiento de arenas, influencia marina. Restos fosiles



Dunas de 2,5-9,0 m de altura cerca de AE7 y AE8

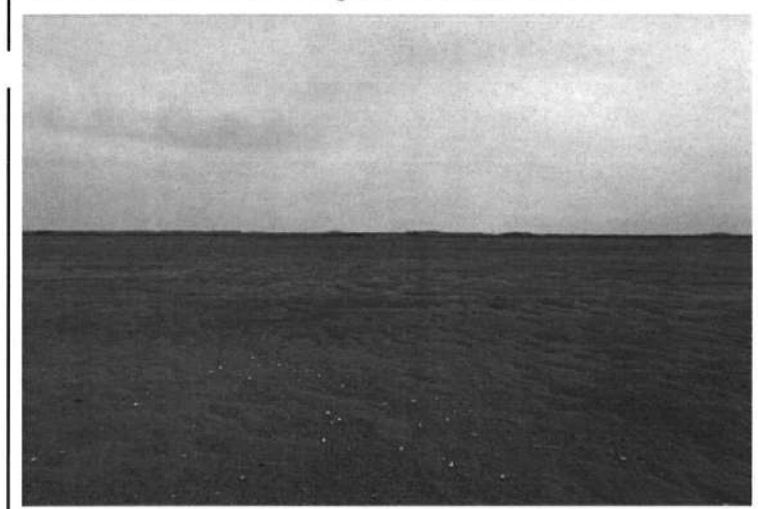


Reportaje Fotográfico





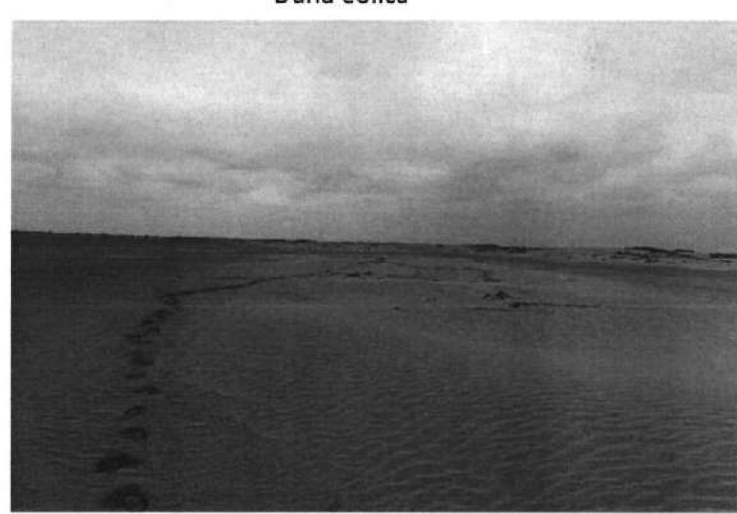
Detalle de corte en arenas ligeramente cementadas



Zona en entorno de AE15



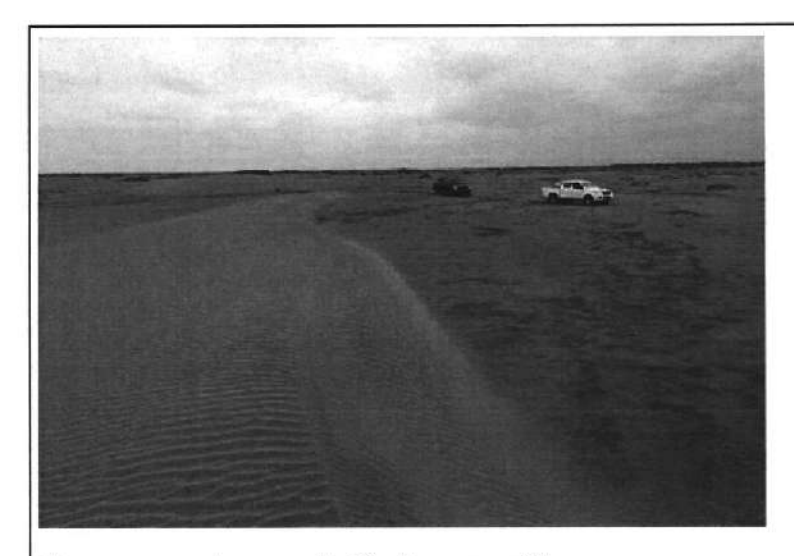
Duna eólica



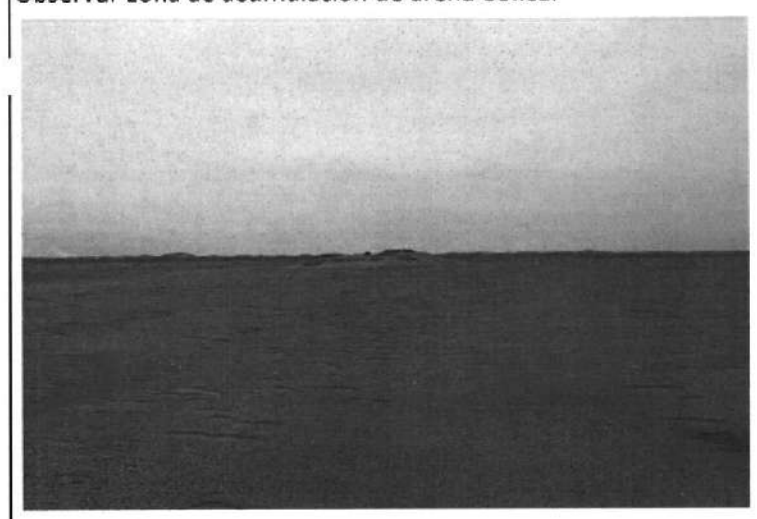
Observar zona de acumulación de arena eólica.



Reportaje Fotográfico



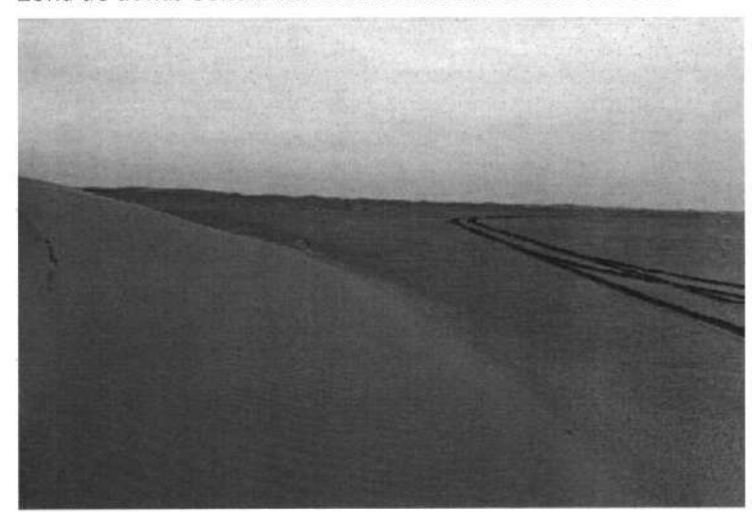
Observar zona de acumulación de arena eólica.



Zona en entorno de AE23



Zona de dunas eólicas de entidad en zona al Este de AE15

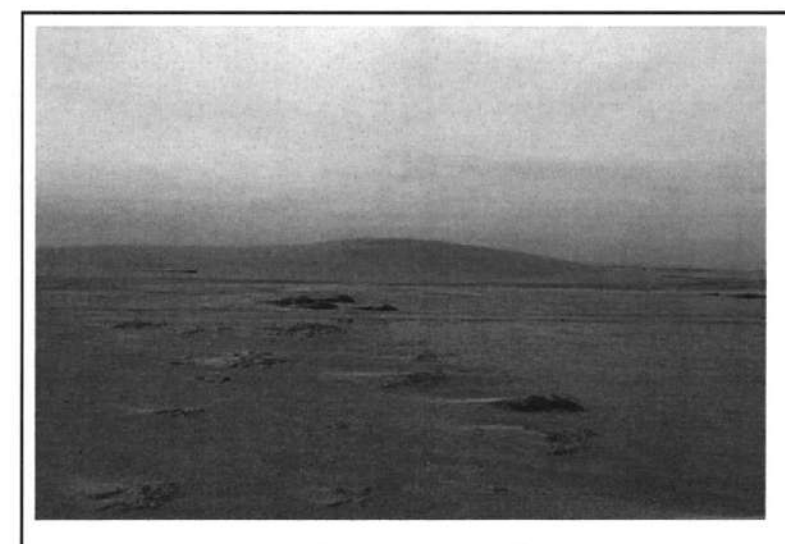


Duna próxima a ubicación de Subestación



Reportaje Fotográfico





Duna en entorno de AE28



Zona en entorno de AE29



Reportaje Fotográfico



Duna eólica en entorno de AE17



Zona próxima a AE18



ANEJO 6 ENSAYOS DE LABORATORIO









Avda del Aire, 1317. San Luis. Lima egea.andina@gmail.com. Tfno: 942 996 957

ACTA DE RESULTADOS

Obra: INFORME GEOTÉCNICO PARQUE EÓLICO MÓRROPE , CHICLAYO

Peticionario: SIGA INGENIERÍA

Procedencia: SM2. SPT 6,00-6,38 m Descripción del material: Arena limosa

Nº Albarán: 001030

CODIGO ACTA	CODIGO OBRA	EXPEDIENTE	MUESTRA	FECHA DE ACTA
2015/289	108	36	.2015/510	18/08/2015

Humedad mediante secado en estufa S/ASTM D-4318 - 10

DESTINATARIO

SIGA INGENIERÍA

RESULTADOS DEL ENSAYO

ENSAYO		Obligatorio
MASA RECIPIENTE	M1	113,2
MASA RECIPIENTE + MUESTRA	M2	369,9
MASA RECIPIENTE + MUESTRA SECA	M3	354,2
MEDIA %	W=(M2-M3)/(M3-M1)*100	6,51

Página 1/1

V° B° DIRECTOR,

Glicerio Fernández

TÉCNICO RESPONSABLE DE ENSAYO

Antonio Cherino

ACREDITADO

Copias enviadas a: SIGA INGENIERIA

Ensayos de laboratorio de Geotecnia

OTRAS
REFERENCIAS:



Avda del Aire, 1317. San Luis. Lima

egea.andina@gmail.com. Tfno: 942 996 957

ACTA DE RESULTADOS

Obra: INFORME GEOTÉCNICO PARQUE EÓLICO MÓRROPE , CHICLAYO

Peticionario: SIGA INGENIERÍA Procedencia: SM2. SPT 6,00-6,38 m Descripción del material: Arena limosa

Nº Albarán: 001030

CODIGO ACTA	CODIGO OBRA	EXPEDIENTE	MUESTRA	FECHA DE ACTA
2015/290	108	36	.2015/510	18/08/2015

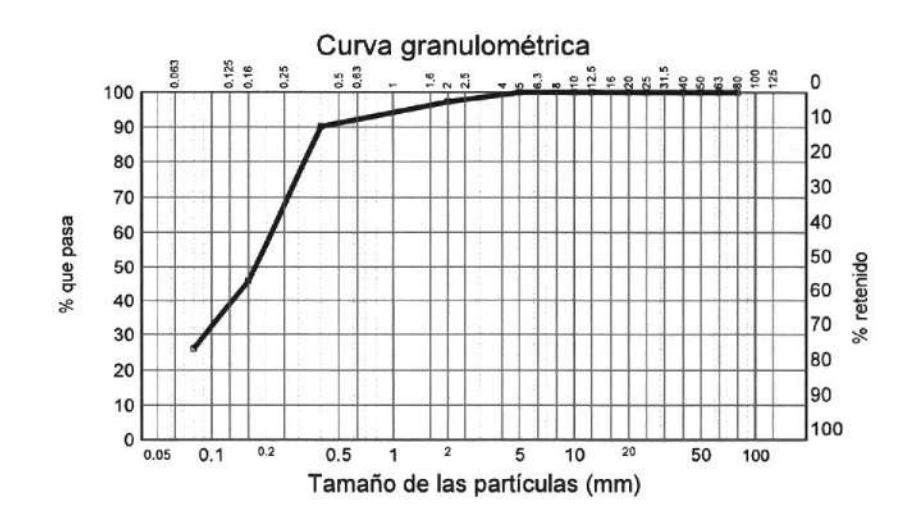
Granulometría por tamizado. Preparación de mues S/ASTM D-422 - 63 / D2487 - 11 / D-3282 -09 / D-4318 - 10

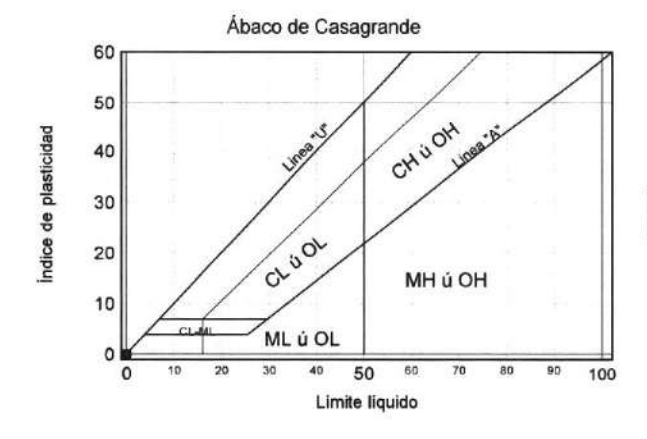
DESTINATARIO

SIGA INGENIERÍA

RESULTADOS DEL ENSAYO

Tamiz (mm)	Pasa (%)
80	100
63	100
50	100
40	100
25	100
20	100
12.5	100
10	100
5	100
2	97
0.4	90
0.16	46
0.08	25.9





Método de análisis Lavado y tamizado

Página 1/2

V° B° DIRECTOR

TÉCNICO RESPONSABLE DE ENSAYO

Antonio Cherino

Copias enviadas a: SIGA INGENIERÍA

Glicerio Fernández

ACREDITADO Ensayos de laboratorio de Geotecnia OTRAS



1096

Avda del Aire, 1317. San Luis. Lima

egea.andina@gmail.com. Tfno: 942 996 957

		T	-Y	
CODIGO ACTA	CODIGO OBRA	EXPEDIENTE	MUESTRA	FECHA DE ACTA
2015/290	108	36	.2015/510	18/08/2015

Clasificación AASHTO

Grupo: A-2-4 (0)

Materiales granulares. Grava y arena arcillosa o limosa

Limite líquido	
Límite plástico	No plástico
Indice de plasticidad	No plástico

Clasificación USCS

SM : Arena limosa

TÉCNICO RESPONSABLE DE ENSAYO

Copias enviadas a:

SIGA INGENIERÍA

V° B° DIRECTOR,

Pag. 2/2



Ensayos de laboratorio de Geotecnia

Antonio Cherino

ACREDITADO

no Glicerio Fernández

OTRAS
REFERENCIAS



Avda del Aire, 1317. San Luis. Lima egea.andina@gmail.com. Tfno: 942 996 957

ACTA DE RESULTADOS

Obra: INFORME GEOTÉCNICO PARQUE EÓLICO MÓRROPE CHICLAYO

Peticionario: SIGA INGENIERÍA Procedencia: SM1. TP 14,47-14,77 m Descripción del material: Limo arcilloso

Nº Albarán: 001027

CODIGO ACTA	CODIGO OBRA	EXPEDIENTE	MUESTRA	FECHA DE ACTA
2015/291	108	36	.2015/507	18/08/2015

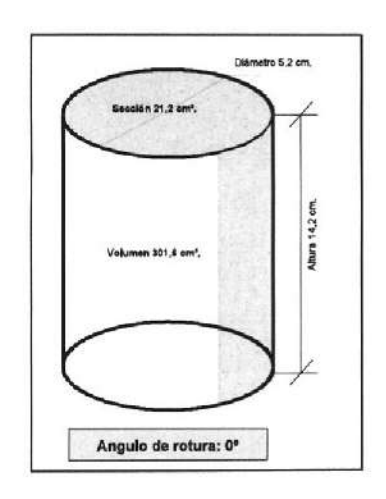
Compresión simple en suelos S/MTC E 121-2000

DESTINATARIO

SIGA INGENIERÍA

RESULTADOS DEL ENSAYO

DIN	ENSIONES DE LA PROBETA	
Altura	cm	14,2
Diámetro	cm	5,2
Sección	cm ²	21,2
Volumen	cm ³	301,6
	HUMEDAD	
Humedad zona de rotura	%	15,74
Humedad probeta	%	-11,49
RESISTE	NCIA A COMPRESION CORREGIDA	
Carga	N	346,70
Resistencia	N/mm²	0,15
Deformación	e di la commi	9,00
	DENSIDAD	
Densidad Húmeda	gr/cm³	1,37
Densidad Seca	gr/cm³	1,54



Página 1/2

TÉCNICO RESPONSABLE DE ENSAYO

Antonio Cherino

Copias enviadas a: SIGA INGENIERÍA

V° B° DIRECTOR.

Glicerio Fernández

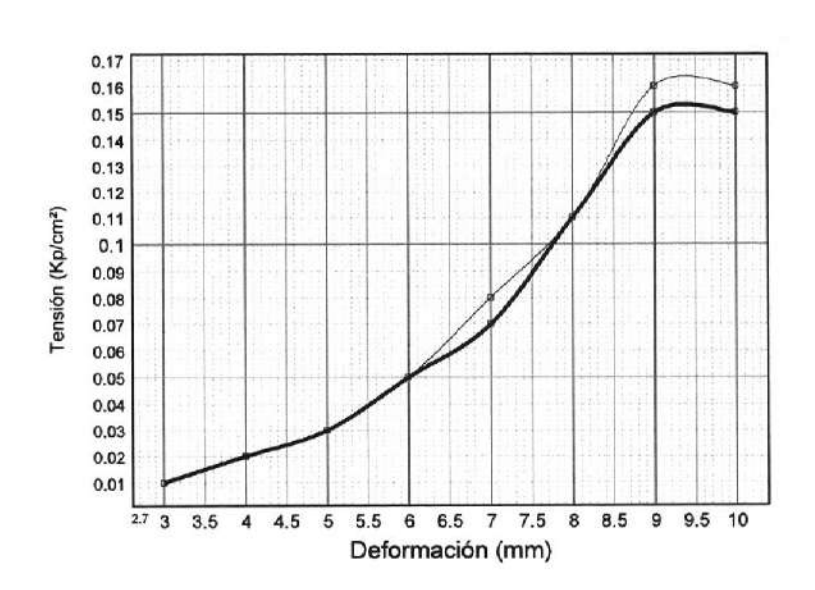
ACREDITADO OTRAS Ensayos de laboratorio de Geotecnia REFERENCIAS



1697

CODIGO ACTA	CODIGO OBRA	EXPEDIENTE	MUESTRA	FECHA DE ACTA
2015/291	108	36	.2015/507	18/08/2015

Avda del Aire, 1317. San Luis. Lima egea.andina@gmail.com. Tfno: 942 996 957



TÉCNICO RESPONSABLE DE ENSAYO

Copias enviadas a: SIGA INGENIERÍA V° B° DIRECTOR,



Antonio Ch	Antonio Cherino		Gilceno Fernandez	
ACREDITADO	Ensayos de laboratorio de Geotecnia	OTRAS REFERENCIAS:		



Avda del Aire, 1317. San Luis. Lima

egea.andina@gmail.com. Tfno: 942 996 957

ACTA DE RESULTADOS

Obra: INFORME GEOTÉCNICO PARQUE EÓLICO MÓRROPE

CHICLAYO

Peticionario: SIGA INGENIERÍA Procedencia: SM1. TP 17,80-18,00 m Descripción del material: Arcilla limosa

Nº Albarán: 001028

CODIGO ACTA	CODIGO OBRA	EXPEDIENTE	MUESTRA	FECHA DE ACTA
2015/292	108	36	.2015/508	18/08/2015

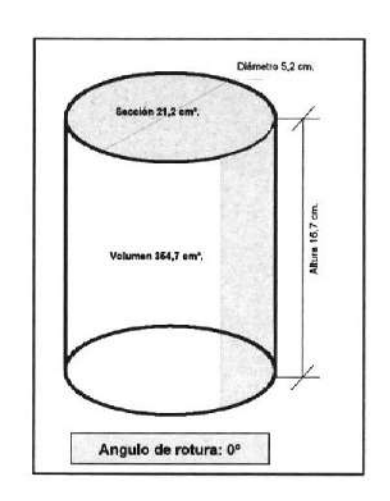
Compresión simple en suelos S/MTC E 121-2000

DESTINATARIO

SIGA INGENIERÍA

RESULTADOS DEL ENSAYO

DIN	MENSIONES DE LA PROBETA	
Altura	cm	16,7
Diámetro	cm	5,2
Sección	cm ²	21,2
Volumen	cm ³	354,7
	HUMEDAD	
Humedad zona de rotura	%	21,07
Humedad probeta	%	-9,10
RESISTE	NCIA A COMPRESION CORREGIDA	
Carga	N	714,10
Resistencia	N/mm²	0,31
Deformación	mm.	13,00
	DENSIDAD	
Densidad Húmeda	gr/cm³	1,45
Densidad Seca	gr/cm³	1,60



Página 1/2

TÉCNICO RESPONSABLE DE ENSAYO

Antonio Cherino

Copias enviadas a: SIGA INGENIERÍA

V* B* DIRECTOR

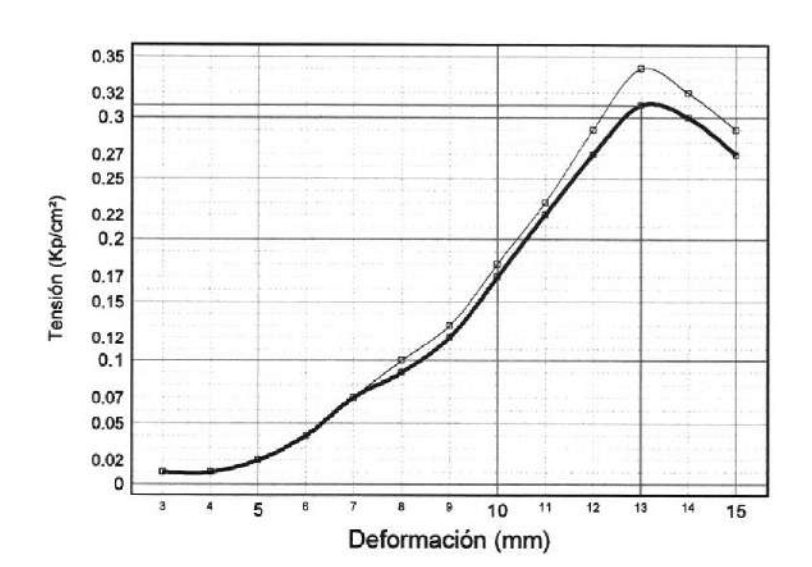
Glicerio Fernández

ACREDITADO OTRAS Ensayos de laboratorio de Geotecnia REFERENCIAS



Avda del Aire, 1317. San Luis. Lima egea.andina@gmail.com. Tfno: 942 996 957

CODIGO ACTA	CODIGO OBRA	EXPEDIENTE	MUESTRA	FECHA DE ACTA
2015/292	108	36	.2015/508	18/08/2015



TÉCNICO RESPONSABLE DE ENSAYO

Copias enviadas a: SIGA INGENIERÍA V° B° DIRECTOR,



Ensayos de laboratorio de Geotecnia

Antonio Cherino

Glicerio Fernández ACREDITADO

Pag. 2/2

OTRAS

REFERENCIAS



Avda del Aire, 1317. San Luis. Lima egea.andina@gmail.com. Tfno: 942 996 957

ACTA DE RESULTADOS

Obra: INFORME GEOTÉCNICO PARQUE EÓLICO MÓRROPE , CHICLAYO

Peticionario: SIGA INGENIERIA Procedencia: Calicata C11. M4

Descripción del material: Limo arcilloso oscuro

Nº Albarán: 001020

	CONTRACTOR STATE	200000000000000000000000000000000000000	99000000000000	a section of a consuma
CODIGO ACTA	CODIGO OBRA	EXPEDIENTE	MUESTRA	FECHA DE ACTA
2015/293	108	36	.2015/500	18/08/2015

Humedad mediante secado en estufa S/AST D-4318 - 10

DESTINATARIO

SIGA INGENIERÍA

RESULTADOS DEL ENSAYO

ENSAYO		Obligatorio
MASA RECIPIENTE	M1	205
MASA RECIPIENTE + MUESTRA	M2	464
MASA RECIPIENTE + MUESTRA SECA	M3	395
MEDIA %	W=(M2-M3)/(M3-M1)*100	36,32

Página 1/1

V" B" DIRECTOR,

TÉCNICO RESPONSABLE DE ENSAYO

Antonio Cherino

Ensayos de laboratorio de Geotecnia

ACREDITADO

Copias enviadas a: SIGA INGENIERIA

> OTRAS REFERENCIAS

Glicerio Fernández



Avda del Aire, 1317. San Luis. Lima egea.andina@gmail.com. Tfno: 942 996 957

ACTA DE RESULTADOS

Obra: INFORME GEOTÉCNICO PARQUE EÓLICO MÓRROPE

CHICLAYO

Peticionario: SIGA INGENIERÍA Procedencia: Calicata C11. M4

Descripción del material: Limo arcilloso oscuro

Nº Albarán: 001020

 CODIGO ACTA
 CODIGO OBRA
 EXPEDIENTE
 MUESTRA
 FECHA DE ACTA

 2015/294
 108
 36
 .2015/500
 18/08/2015

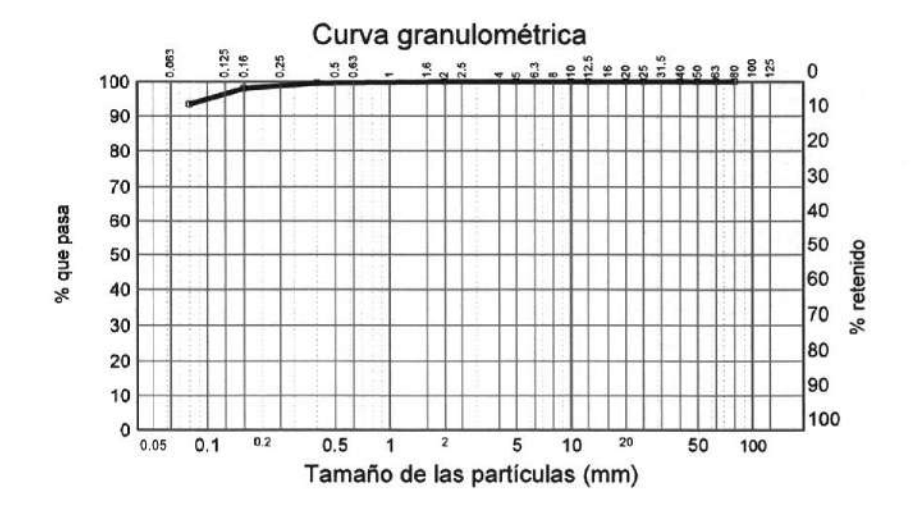
Granulometría por tamizado. Preparación de muestra S/ASTM D-422 - 63 / D2487 - 11 / D-3282 -09 / D-4318 - 10

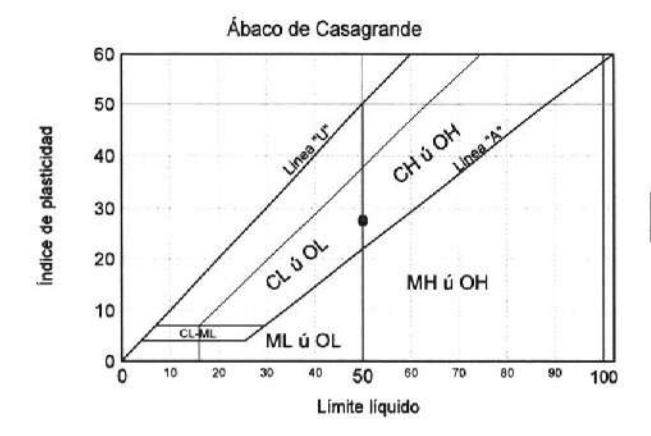
DESTINATARIO

SIGA INGENIERÍA

RESULTADOS DEL ENSAYO

Tamiz (mm)	Pasa (%)
80	100
63	100
50	100
40	100
25	100
20	100
12.5	100
10	100
5	100
2	100
0.4	100
0.16	98
0.08	93.4





Método de análisis Lavado y tamizado

Página 1/2

V° B° DIRECTOR,

TÉCNICO RESPONSABLE DE ENSAYO

Copias enviadas a: SIGA INGENIERÍA

Glic

Glicerio Fernández

Ensayes de laboratorio de Geotecnia

OTRAS REFERENCIAS



Avda del Aire, 1317. San Luis. Lima egea.andina@gmail.com. Tfno: 942 996 957

CODIGO ACTA	CODIGO OBRA	EXPEDIENTE	MUESTRA	FECHA DE ACTA
2015/294	108	36	.2015/500	18/08/2015

Clasificación AASHTO

Grupo: A-7-6 (28) Materiales limosos arcillosos. Suelos arcillosos

Límite líquido	50.06
Límite plástico	22.50
Indice de plasticidad	27.56

	Clasificación USCS	
OH : Arcilla orgánica		

TÉCNICO RESPONSABLE DE ENSAYO

Copias enviadas a: SIGA INGENIERÍA V° B° DIRECTOR,



Antonio Cherino

Gliceno Feina		Girceno remandez	
ACREDITADO	Ensayos de laboratorio de Geotecnia	OTRAS	
		REFERENCIAS:	



Avda del Aire, 1317. San Luis. Lima egea.andina@gmail.com. Tfno: 942 996 957

ACTA DE RESULTADOS

Obra: INFORME GEOTÉCNICO PARQUE EÓLICO MÓRROPE

, CHICLAYO

Peticionario: SIGA INGENIERÍA Procedencia: Calicata C11. M4

Descripción del material: Limo arcilloso oscuro

Nº Albarán: 001020

CODIGO ACTA	CODIGO OBRA	EXPEDIENTE	MUESTRA	FECHA DE ACTA
2015/295	108	36	.2015/500	18/08/2015

Determinación del contenido de Ión sulfato S/UNE 83963:2008

DESTINATARIO

SIGA INGENIERÍA

RESULTADOS DEL ENSAYO

Ensayo E	G0205 - Determinación del contenido de Ión sulfato S/UNE 839	63:2008	
Sulfatos	mg/kg	0,00	

Página 1/1

V° B° DIRECTOR,

Glicerio Fernández

TÉCNICO RESPONSABLE DE ENSAYO

Antonio Cherino

ACREDITADO

Copias enviadas a: SIGA INGENIERÍA

Ensayos de laboratorio de Geotecnia

OTRAS

REFERENCIAS:



Avda del Aire, 1317. San Luis. Lima

egea.andina@gmail.com. Tfno: 942 996 957

ACTA DE RESULTADOS

Obra: INFORME GEOTÉCNICO PARQUE EÓLICO MÓRROPE

CHICLAYO

Peticionario: SIGA INGENIERÍA Procedencia: Calicata C11. M4

Descripción del material: Limo arcilloso oscuro

Nº Albarán: 001020

CODIGO ACTA	CODIGO OBRA	EXPEDIENTE	MUESTRA	FECHA DE ACTA	
2015/296	108	36	.2015/500	18/08/2015	

Proctor Modificado S/MTC E 115-2000

DESTINATARIO

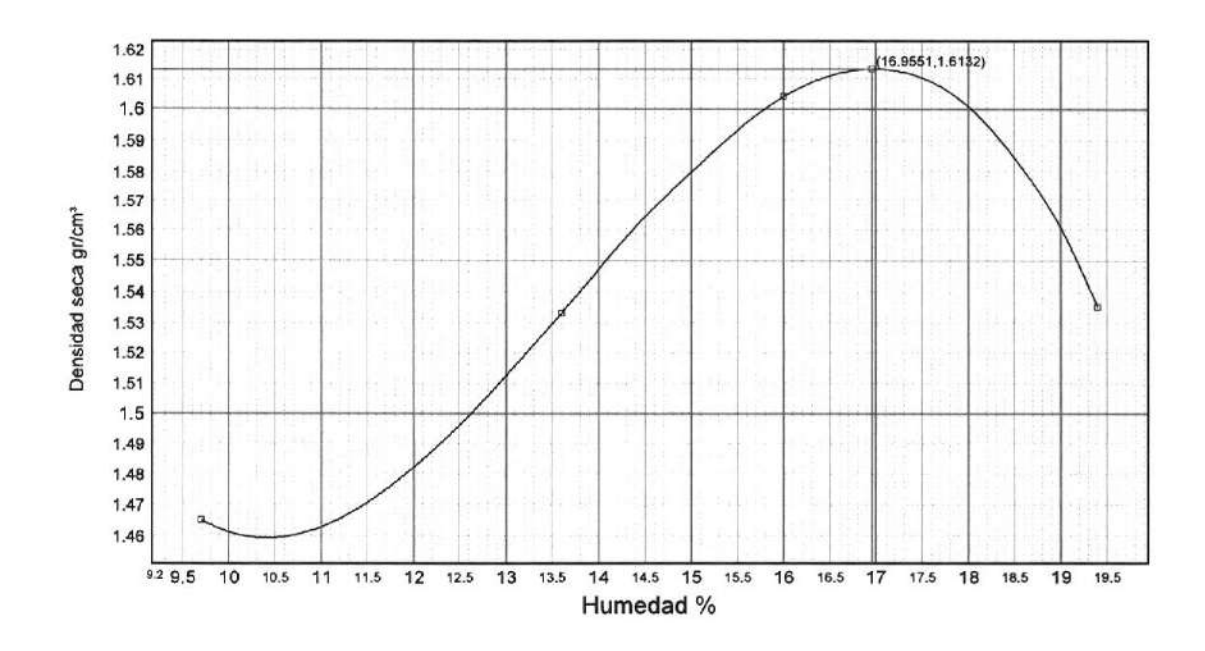
SIGA INGENIERÍA

RESULTADOS DEL ENSAYO

Densidad máxima 1,613gr/cm³

Humedad óptima

17,0 %



Página 1/1

V° B° DIRECTOR

TÉCNICO RESPONSABLE DE ENSAYO

Copias enviadas a: SIGA INGENIERIA

Antonio Cherino

Glicerio Fernández

ACREDITADO Ensayos de laboratorio de Geotecnia REFERENCIAS



Avda del Aire, 1317. San Luis. Lima egea.andina@gmail.com. Tfno: 942 996 957

ACTA DE RESULTADOS

Obra: INFORME GEOTÉCNICO PARQUE EÓLICO MÓRROPE

, CHICLAYO

Peticionario: SIGA INGENIERÍA Procedencia: Calicata C11. M4

Descripción del material: Limo arcilloso oscuro

Nº Albarán: 001020

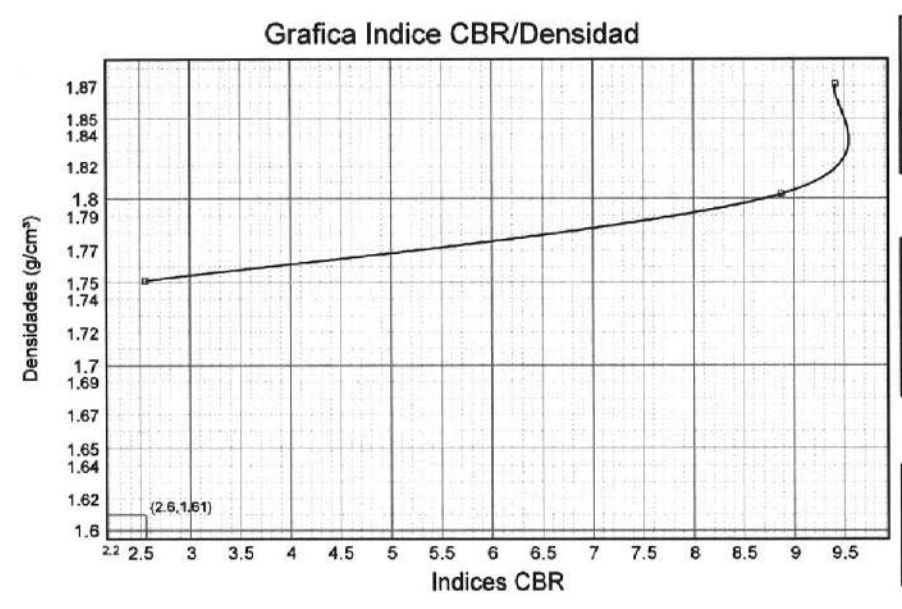
CODIGO ACTA	CODIGO OBRA	EXPEDIENTE	MUESTRA	FECHA DE ACTA
2015/297	108	36	.2015/500	18/08/2015

Índice CBR en laboratorio S/MTC E 132-2000

DESTINATARIO

SIGA INGENIERÍA

RESULTADOS DEL ENSAYO



PROCTOR NORMAL				
Densidad máxima	1,610 g/cm³			
Humedad óptima	17,0 %			
Compactación (100%)	1,610 g/cm³.			

Compactación	Densidad	Indice CBR
95 %	1,530 g/cm ³	3
98 %	1,578 g/cm³	3
100 %	1,610 g/cm ³	3

Indice CBR (100%)	3
Hinchamiento (100%)	0,94 %
Absorción (100%)	-13,91 %

	MOLDE A	MOLDEB	MOLDE C
Energia compactación	25% (15 golpes)	50% (30 golpes)	100% (60 golpes)
Densidad	1,751 g/cm³	1,803 g/cm³	1,871 g/cm³
Humedad	13,9 %	13,3 %	12,3 %
Absorción	-13,91 %	-13,34 %	-12,28 %
Hinchamiento	0,94 %	1,02 %	1,97 %
Indice C.B.R.	3	9	9

Norma: UNE 103,502	Material retenido tamiz 20 mm. UNE: 0,00 %	Sobrecarga utilizada: 5,0 Kg.	Se ha efectuado sustitución de material: No
THE RESERVE THE PROPERTY OF STREET, SHOWING	The Control of the Co		

Página 1/1

V° B° DIRECTOR,

TÉCNICO RESPONSABLE DE ENSAYO

Antonio Cherino

Copias enviadas a: SIGA INGENIERÍA

*

Glicerio Fernández

ACREDITADO Ensayos de laboratorio de Geotecnia

OTRAS REFERENCIAS



Avda del Aire, 1317. San Luis. Lima

egea.andina@gmail.com. Tfno: 942 996 957

ACTA DE RESULTADOS

Obra: INFORME GEOTÉCNICO PARQUE EÓLICO MÓRROPE

, CHICLAYO

Peticionario: SIGA INGENIERÍA Procedencia: Calicata C12. M1

Descripción del material: Arena gris oscura

Nº Albarán: 001021

CODIGO ACTA	CODIGO OBRA	EXPEDIENTE	MUESTRA	FECHA DE ACTA
2015/298	108	36	.2015/501	18/08/2015

Humedad mediante secado en estufa S/AST D-4318 - 10

DESTINATARIO

SIGA INGENIERÍA

RESULTADOS DEL ENSAYO

ENSAYO		Obligatorio
MASA RECIPIENTE	M1	206
MASA RECIPIENTE + MUESTRA	M2	312
MASA RECIPIENTE + MUESTRA SECA	M3	305
MEDIA %	W=(M2-M3)/(M3-M1)*100	7,07

Página 1/1

Ensayos de laboratorio de Geotecnia

TÉCNICO RESPONSABLE DE ENSAYO

Copias enviadas a: SIGA INGENIERÍA

Antonio Cherino ACREDITADO

OTRAS REFERENCIAS

EGEA ANDINA, S.A.C

V° B° DIRECTOR

Glicerio Fernández



Avda del Aire, 1317. San Luis. Lima egea.andina@gmail.com. Tfno: 942 996 957

ACTA DE RESULTADOS

Obra: INFORME GEOTÉCNICO PARQUE EÓLICO MÓRROPE

, CHICLAYO

Peticionario: SIGA INGENIERÍA Procedencia: Calicata C12. M1

Descripción del material: Arena gris oscura

Nº Albarán: 001021

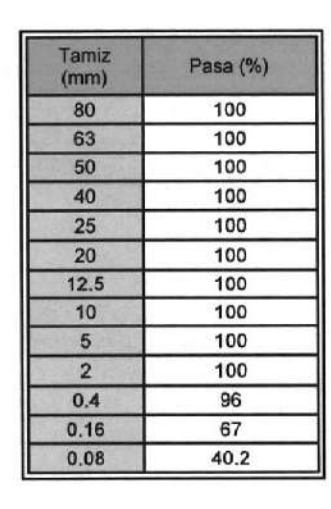
CODIGO ACTA	CODIGO OBRA	EXPEDIENTE	MUESTRA	FECHA DE ACTA
2015/299	108	36	.2015/501	18/08/2015

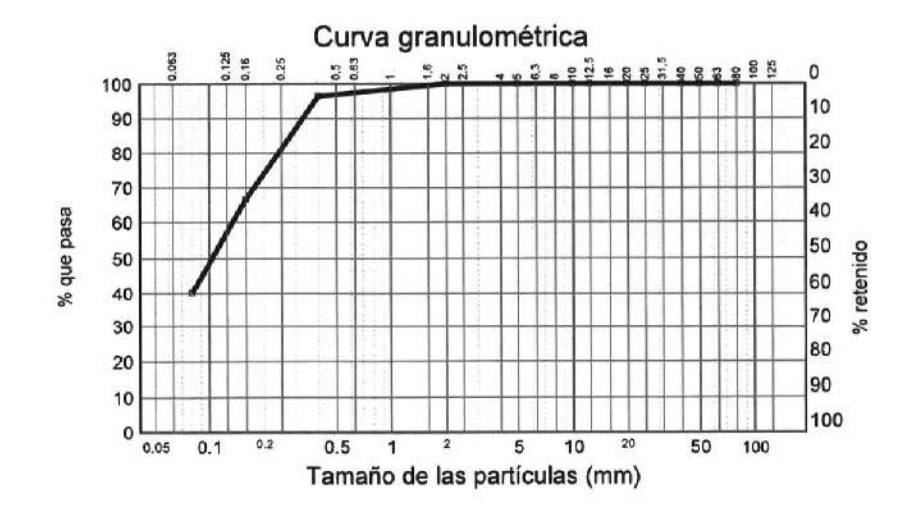
Granulometría por tamizado. Preparación de muestra S/ASTM D-422 - 63 / D2487 - 11 / D-3282 -09 / D-4318 - 10

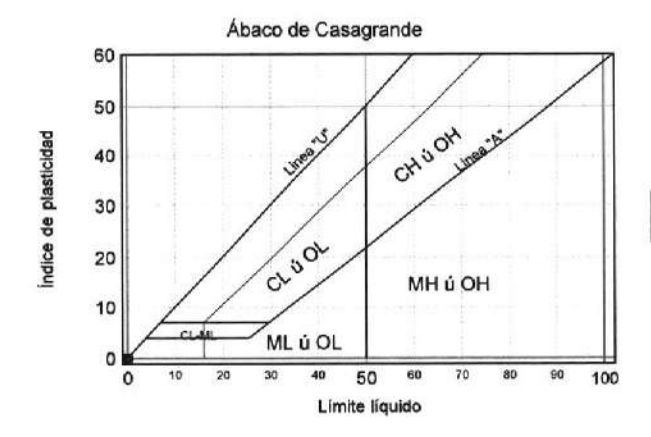
DESTINATARIO

SIGA INGENIERÍA

RESULTADOS DEL ENSAYO







Método de análisis Lavado y tamizado

Página 1/2

V* B* DIRECTOR,

11

Glicerio Fernández

TÉCNICO RESPONSABLE DE ENSAYO

Antonio Cherino

Copias enviadas a: SIGA INGENIERÍA

Ensayos de laboratorio de Geotecnia

OTRAS REFERENCIAS:



Avda del Aire, 1317. San Luis. Lima

egea.andina@gmail.com. Tfno: 942 996 957

CODIGO ACTA	CODIGO OBRA	EXPEDIENTE	MUESTRA	FECHA DE ACTA
2015/299	108	36	.2015/501	18/08/2015

TEN MARIE	Clasificación AASHTO
Grupo: A-4 (0	0)
Materiales lin	nosos arcillosos. Suelos limosos

Limite líquido	-
Límite plástico	No plástico
Indice de plasticidad	No plástico

	Clasificación USCS	
SM : Arena limosa		

TÉCNICO RESPONSABLE DE ENSAYO

Copias enviadas a: SIGA INGENIERÍA V° B° DIRECTOR,



Antonio Cherino

Glicerio Fernández

Pag. 2/2

			Gircello Felliandez
ACREDITADO	Ensayos de laboratorio de Geotecnia	OTRAS	
	THE MUNICIPAL AND ADMINISTRATION OF THE ADMI	REFERENCIAS:	



Avda del Aire, 1317. San Luis. Lima egea.andina@gmail.com. Tfno: 942 996 957

ACTA DE RESULTADOS

Obra: INFORME GEOTÉCNICO PARQUE EÓLICO MÓRROPE , CHICLAYO

Peticionario: SIGA INGENIERÍA Procedencia: Calicata C12. M1

Descripción del material: Arena gris oscura

Nº Albarán: 001021

CODIGO ACTA	CODIGO OBRA	EXPEDIENTE	MUESTRA	FECHA DE ACTA
2015/300	108	36	.2015/501	18/08/2015

Determinación del contenido de Ión sulfato S/UNE 83963:2008

DESTINATARIO

SIGA INGENIERÍA

RESULTADOS DEL ENSAYO

	Ensayo EG0205 - Determinación del contenido de Ión sulfato S/UNE 839	963:2008	1988
Sulfatos	mg/kg	507,32	

Página 1/1

V° B° DIRECTOR,

_V.

Glicerio Fernández

TÉCNICO RESPONSABLE DE ENSAYO

Antonio Cherino

Copias enviadas a: SIGA INGENIERÍA

Ensayos de laboratorio de Geotecnia

OTRAS REFERENCIAS



Avda del Aire, 1317. San Luis. Lima

egea.andina@gmail.com. Tfno: 942 996 957

ACTA DE RESULTADOS

Obra: INFORME GEOTÉCNICO PARQUE EÓLICO MÓRROPE , CHICLAYO

Peticionario: SIGA INGENIERÍA Procedencia: Calicata C12. M1

Descripción del material: Arena gris oscura

Nº Albarán: 001021

CODIGO ACTA	CODIGO OBRA	EXPEDIENTE	MUESTRA	FECHA DE ACTA
2015/301	108	36	.2015/501	18/08/2015

Proctor Modificado	S/MTC	E	11	5-2	00)(
--------------------	-------	---	----	-----	----	----

DESTINATARIO

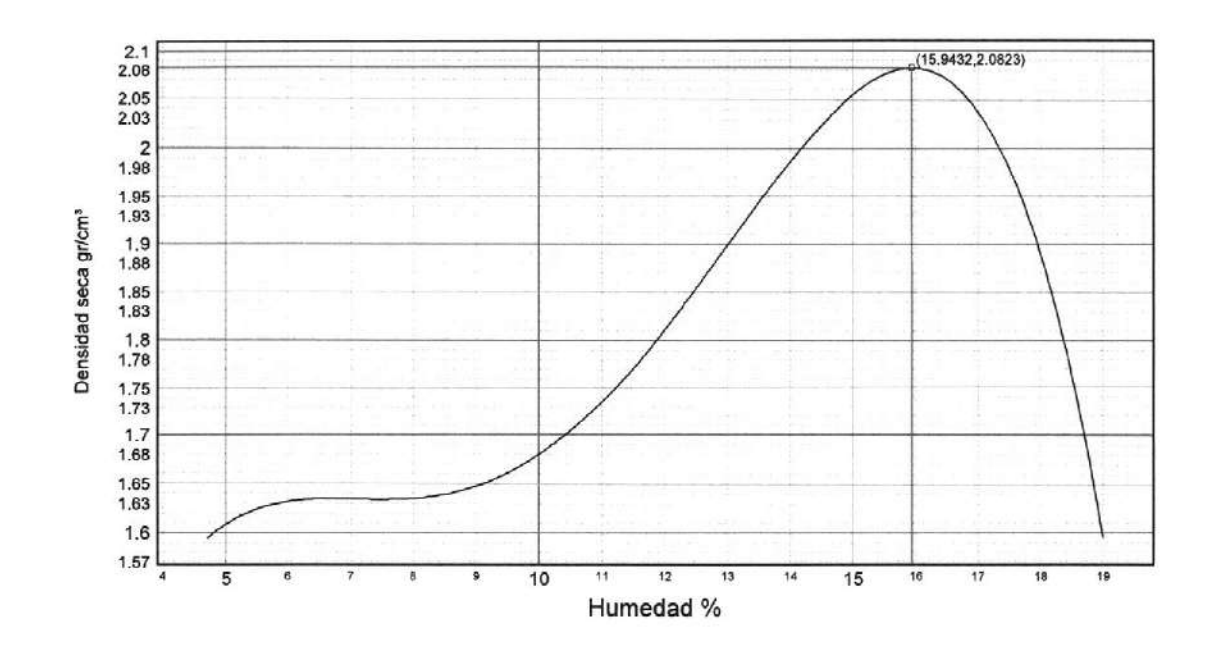
SIGA INGENIERÍA

RESULTADOS DEL ENSAYO

Densidad máxima 2,082gr/cm³

Humedad óptima

15,9 %



Página 1/1

V° B° DIRECTOR,

TÉCNICO RESPONSABLE DE ENSAYO

Copias enviadas a: SIGA INGENIERIA

Antonio Cherino

ACREDITADO

Glicerio Fernández

OTRAS Ensayos de laboratorio de Geotecnia REFERENCIAS



Avda del Aire, 1317. San Luis. Lima

egea.andina@gmail.com. Tfno: 942 996 957

ACTA DE RESULTADOS

Obra: INFORME GEOTÉCNICO PARQUE EÓLICO MÓRROPE

CHICLAYO

Peticionario: SIGA INGENIERÍA Procedencia: Calicata C12, M1

Descripción del material: Arena gris oscura

Nº Albarán: 001021

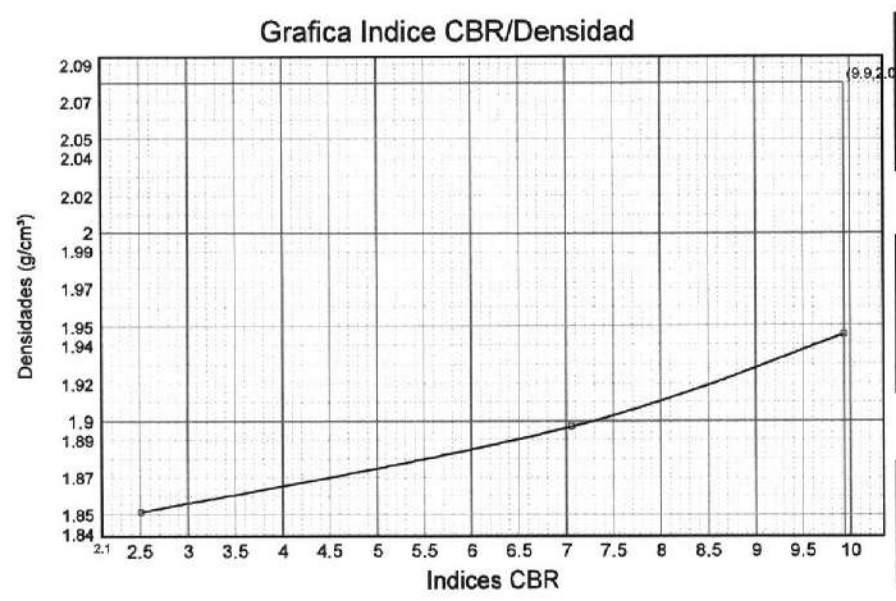
			1	
CODIGO ACTA	CODIGO OBRA	EXPEDIENTE	MUESTRA	FECHA DE ACTA
2015/302	108	36	.2015/501	18/08/2015

Índice CBR en laboratorio S/MTC E 132-2000

DESTINATARIO

SIGA INGENIERÍA

RESULTADOS DEL ENSAYO



PROCTOR NOR	RMAL
Densidad máxima	2,080 g/cm³
Humedad óptima	15,9 %
Compactación (100%)	2,080 g/cm³.

Compactación	Densidad	Indice CBR
95 %	1,976 g/cm³	10
98 %	2,038 g/cm³	10
100 %	2,080 g/cm ^a	10

Indice CBR (100%)	10
Hinchamiento (100%)	0,09 %
Absorción (100%)	3,01 %

	MOLDE A	MOLDE B	MOLDE C	
Energia compactación	25% (15 golpes)	50% (30 golpes)	100% (60 golpes)	
Densidad	1,851 g/cm³	1,897 g/cm³	1,945 g/cm³	
Humedad	12,4 %	12,3 %	12,3 %	
Absorción	4,07 %	3,47 %	3,01 %	
Hinchamiento	0,27 %	0,17 %	0,09 %	
Indice C.B.R.	3	7	10	

Norm	a: UNE 103,502	Material retenido tamiz 20 mm. UNE: 0,00 %	Sobrecarga utilizada:	5,0 Kg.	Se ha efectuado sustitución de material: No	
						-

Página 1/1

V* B* DIRECTOR,

TÉCNICO RESPONSABLE DE ENSAYO

Copias enviadas a: SIGA INGENIERÍA

Glicerio Fernández

ACREDITADO

Ensayos de laboratorio de Geotecnia

OTRAS REFERENCIAS:



Avda del Aire, 1317. San Luis. Lima egea.andina@gmail.com. Tfno: 942 996 957

ACTA DE RESULTADOS

Obra: INFORME GEOTÉCNICO PARQUE EÓLICO MÓRROPE

, CHICLAYO

Peticionario: SIGA INGENIERÍA Procedencia: Calicata C13. M1 Descripción del material: Arena

Nº Albarán: 001022

CODIGO ACTA	CODIGO OBRA	EXPEDIENTE	MUESTRA	FECHA DE ACTA
2015/303	108	36	.2015/502	18/08/2015

Humedad mediante secado en estufa S/AST D-4318 - 10

DESTINATARIO

SIGA INGENIERÍA

RESULTADOS DEL ENSAYO

ENSAYO		Obligatorio
MASA RECIPIENTE	M1	213
MASA RECIPIENTE + MUESTRA	M2	562
MASA RECIPIENTE + MUESTRA SECA	M3	536
MEDIA %	W=(M2-M3)/(M3-M1)*100	8,05

Página 1/1

V" B" DIRECTOR,

TÉCNICO RESPONSABLE DE ENSAYO

Copias enviadas a: SIGA INGENIERIA

Antonio Cherino

Glicerio Fernández

ACREDITADO OTRAS Ensayos de laboratorio de Geotecnia REFERENCIAS



Avda del Aire, 1317. San Luis. Lima egea.andina@gmail.com. Tfno: 942 996 957

ACTA DE RESULTADOS

Obra: INFORME GEOTÉCNICO PARQUE EÓLICO MÓRROPE, CHICLAYO

Peticionario: SIGA INGENIERÍA Procedencia: Calicata C13. M1 Descripción del material: Arena

Nº Albarán: 001022

CODIGO ACTA	CODIGO OBRA	EXPEDIENTE	MUESTRA	FECHA DE ACTA
2015/304	108	36	.2015/502	18/08/2015

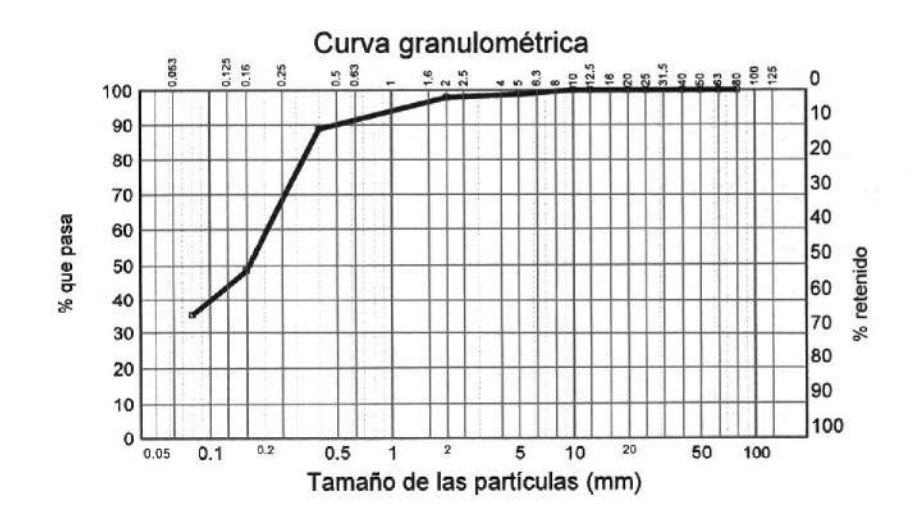
Granulometría por tamizado. Preparación de muestra S/ASTM D-422 - 63 / D2487 - 11 / D-3282 -09 / D-4318 - 10

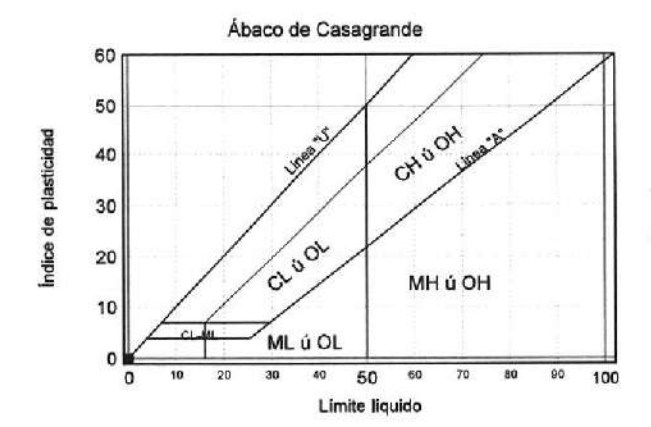
DESTINATARIO

SIGA INGENIERÍA

RESULTADOS DEL ENSAYO

Tamiz (mm)	Pasa (%)	
80	100	
63	100	
50	100	
40	100	
25	100	
20	100	
12.5	100	
10	100	
5	99	
2	98	
0.4	89	
0.16	49	
0.08	35.4	





Método de análisis Lavado y tamizado

Página 1/2

V° B° DIRECTOR,

\$

Glicerio Fernández

Anionio Cherino

TÉCNICO RESPONSABLE DE ENSAYO

Copias enviadas a: siga ingenieria

ACREDITADO Ensayos de laboratorio de Geotecnia

OTRAS REFERENCIAS:



Avda del Aire, 1317. San Luis. Lima

egea.andina@gmail.com. Tfno: 942 996 957

CODIGO ACTA	CODIGO OBRA	EXPEDIENTE	MUESTRA	FECHA DE ACTA
2015/304	108	36	.2015/502	18/08/2015

Clasificación AASHTO

Grupo: A-4 (0) Materiales limosos arcillosos. Suelos limosos

Limite líquido	Series .
Límite líquido Límite plástico Indice de plasticidad	No plástico
Indice de plasticidad	No plástico

Clasificación USCS

SM: Arena limosa

TÉCNICO RESPONSABLE DE ENSAYO

Copias enviadas a: SIGA INGENIERÍA V° B° DIRECTOR,

Antonio Cherino

Glicerio Fernández

Pag. 2/2

ACREDITADO OTRAS Ensayos de laboratorio de Geotecnia REFERENCIAS:



Avda del Aire, 1317. San Luis. Lima egea.andina@gmail.com. Tfno: 942 996 957

ACTA DE RESULTADOS

Obra: INFORME GEOTÉCNICO PARQUE EÓLICO MÓRROPE

CHICLAYO

Peticionario: SIGA INGENIERÍA Procedencia: Calicata C13. M1 Descripción del material: Arena

Nº Albarán: 001022

CODIGO ACTA	CODIGO OBRA	EXPEDIENTE	MUESTRA	FECHA DE ACTA
2015/305	108	36	.2015/502	18/08/2015

Proctor Modificado S/MTC E 115-2000

DESTINATARIO

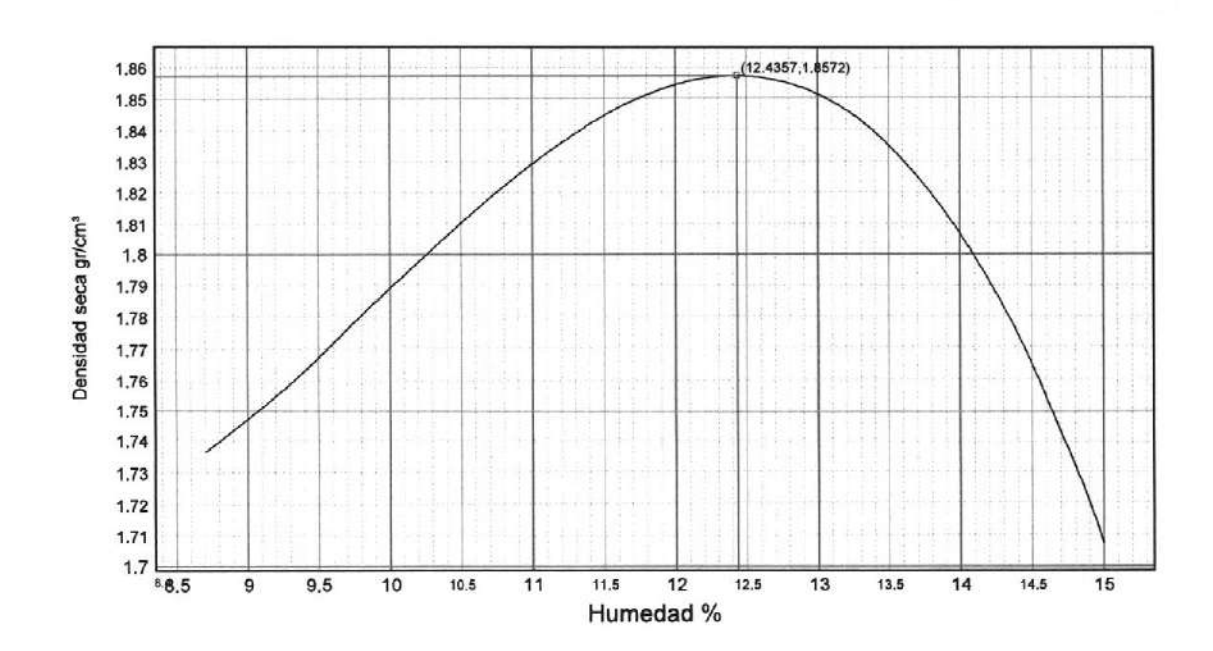
SIGA INGENIERÍA

RESULTADOS DEL ENSAYO

Densidad máxima 1,857gr/cm³

Humedad óptima

12,4 %



Página 1/1

V° B° DIRECTOR,

Glicerio Fernández

TÉCNICO RESPONSABLE DE ENSAYO Antonio Cherino

Copias enviadas a: SIGA INGENIERÍA

ACREDITADO Ensayos de laboratorio de Geotecnia

OTRAS REFERENCIAS



Avda del Aire, 1317. San Luis. Lima egea.andina@gmail.com. Tfno: 942 996 957

ACTA DE RESULTADOS

Obra: INFORME GEOTÉCNICO PARQUE EÓLICO MÓRROPE , CHICLAYO

Peticionario: SIGA INGENIERÍA Procedencia: Calicata C13. M1 Descripción del material: Arena

Nº Albarán: 001022

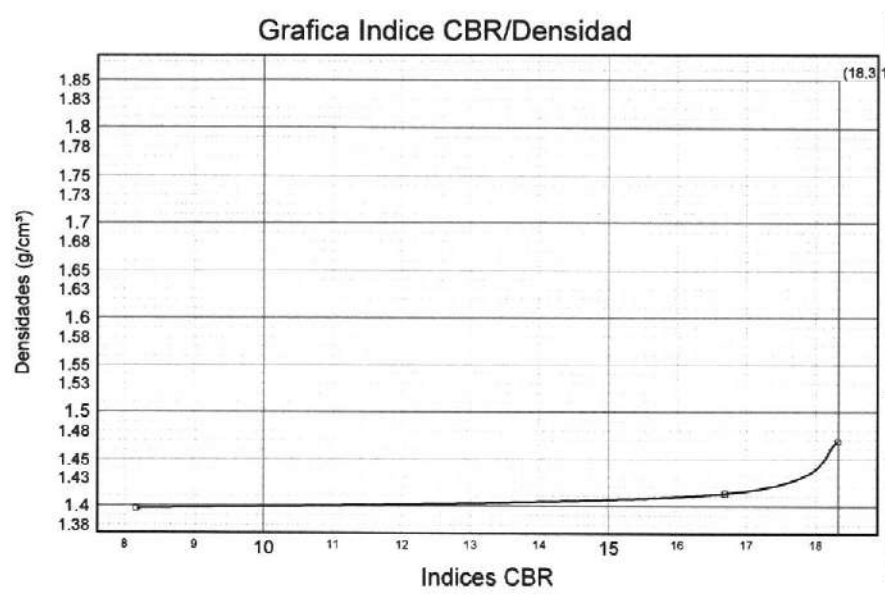
CODIGO ACTA	CODIGO OBRA	EXPEDIENTE	MUESTRA	FECHA DE ACTA
2015/306	108	36	.2015/502	18/08/2015

Índice CBR en laboratorio S/MTC E 132-2000

DESTINATARIO

SIGA INGENIERÍA

RESULTADOS DEL ENSAYO



PROCTOR NOR	RMAL
Densidad máxima	1,850 g/cm³
Humedad óptima	12,4 %
Compactación (100%)	1,850 g/cm³.

Compactación	Densidad	Indice CBR	
95 %	1,758 g/cm³	18	
98 %	1,813 g/cm ^a	18	
100 %	1,850 g/cm ³	18	

Indice CBR (100%)	18
Hinchamiento (100%)	0,00 %
Absorción (100%)	-23,68 %

	MOLDE A	MOLDE B	MOLDE C
Energia compactación	25% (15 golpes)	50% (30 golpes)	100% (60 golpes)
Densidad	1,397 g/cm³	1,413 g/cm³	1,468 g/cm ³
Humedad	21,7 %	23,6 %	23,7 %
Absorción	-21,67 %	-23,60 %	-23,68 %
Hinchamiento	0,00 %	0,00 %	0,00 %
Indice C.B.R.	8	17	18

Norma: UNE 103,502 Material retenido tamiz 20 mm. UNE: 0,00 %	Sobrecarga utilizada: 5,0 Kg.	Se ha efectuado sustitución de material: No
---	-------------------------------	---

Página 1/1

V* B* DIRECTOR,

TÉCNICO RESPONSABLE DE ENSAYO

Copias enviadas a: SIGA INGENIERÍA

Glicerio Fernández

Antonio Cherino

Ensayos de laboratorio de Geotecnia OTRAS
REFERENCIAS



Avda del Aire, 1317. San Luis. Lima

egea.andina@gmail.com. Tfno: 942 996 957

ACTA DE RESULTADOS

Obra: INFORME GEOTÉCNICO PARQUE EÓLICO MÓRROPE , CHICLAYO

Peticionario: SIGA INGENIERÍA Procedencia: Calicata C6. M1 Descripción del material: Arena

Nº Albarán: 001023

				FF611 DF 1671
CODIGO ACTA	CODIGO OBRA	EXPEDIENTE	MUESTRA	FECHA DE ACTA
2015/307	108	36	.2015/503	18/08/2015

Humedad mediante secado en estufa S/ASTM D-4318 - 10

DESTINATARIO

SIGA INGENIERÍA

RESULTADOS DEL ENSAYO

ENSAYO			Obligatorio
MASA RECIPIENTE		M1	216
MASA RECIPIENTE + MUESTRA		M2	651
MASA RECIPIENTE + MUESTRA SECA		M3	624
MEDIA	%	W=(M2-M3)/(M3-M1)*100	6,62

Página 1/1

I I DE DIDECTOR

V° B° DIRECTOR,

Glicerio Fernández

TÉCNICO RESPONSABLE DE ENSAYO

Antonio Cherino

ACREDITADO

Copias enviadas a: SIGA INGENIERÍA

Ensayos de laboratorio de Geotecnia

OTRAS
REFERENCIAS



Avda del Aire, 1317. San Luis. Lima egea.andina@gmail.com. Tfno: 942 996 957

ACTA DE RESULTADOS

Obra: INFORME GEOTÉCNICO PARQUE EÓLICO MÓRROPE

, CHICLAYO

Peticionario: SIGA INGENIERÍA Procedencia: Calicata C6. M1 Descripción del material: Arena

Nº Albarán: 001023

CODIGO ACTA	CODIGO OBRA	EXPEDIENTE	MUESTRA	FECHA DE ACTA
2015/308	108	36	.2015/503	18/08/2015

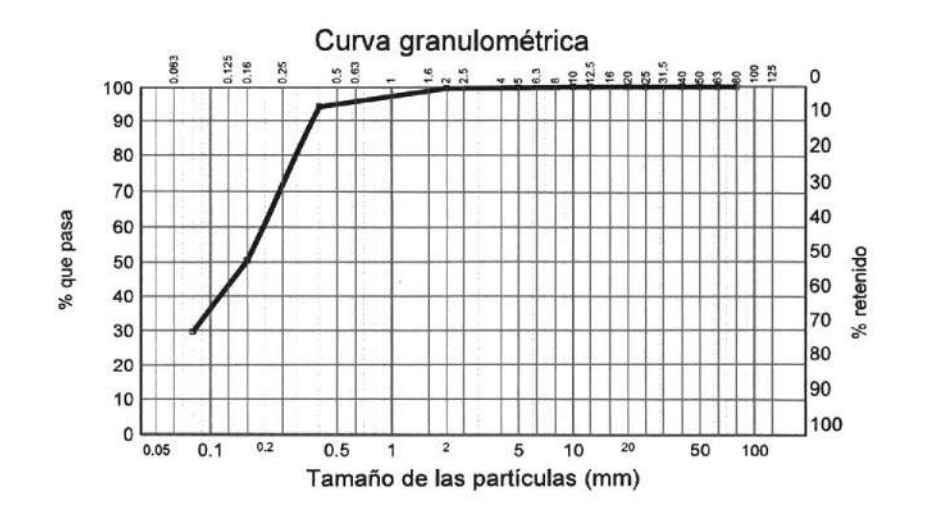
Granulometría por tamizado. Preparación de muest S/ASTM D-422 - 63 / D2487 - 11 / D-3282 -09 / D-4318 - 10

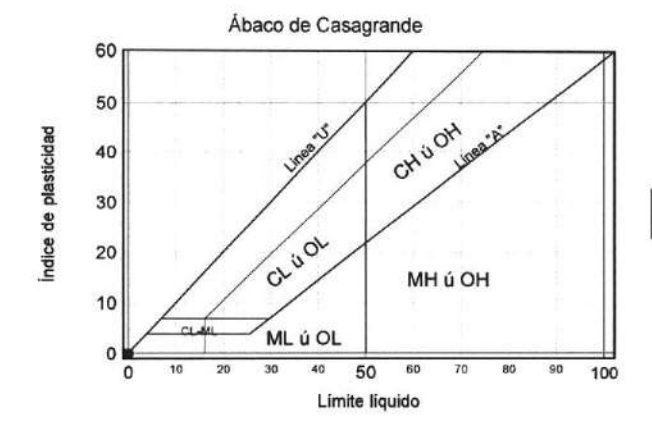
DESTINATARIO

SIGA INGENIERÍA

RESULTADOS DEL ENSAYO

Tamiz (mm)	Pasa (%)
80	100
63	100
50	100
40	100
25	100
20	100
12.5	100
10	100
5	100
2	100
0.4	94
0.16	50
0.08	29.7





Método de análisis Lavado y tamizado

Página 1/2

V° B° DIRECTOR

TÉCNICO RESPONSABLE DE ENSAYO

Antonio Cherino

Copias enviadas a: SIGA INGENIERÍA

Glicerio Fernández

ACREDITADO Ensayos de laboratorio de Geotecnia

OTRAS
REFERENCIAS



1107

CODIGO ACTA	CODIGO OBRA	EXPEDIENTE	MUESTRA	FECHA DE ACTA
2015/308	108	36	.2015/503	18/08/2015

Avda del Aire, 1317. San Luis. Lima egea.andina@gmail.com. Tfno: 942 996 957

	AASH	

Grupo: A-2-4 (0) Materiales granulares. Grava y arena arcillosa o limosa

Límite líquido	-
Límite plástico	No plástico
Indice de plasticidad	No plástico

Clasificación USCS

SM: Arena limosa

TÉCNICO RESPONSABLE DE ENSAYO

Copias enviadas a: SIGA INGENIERÍA V° B° DIRECTOR,



Antonio Cherino

Glicerio Fernández

ACREDITADO	F. J. L. L. J. J. Commis	OTRAS	
	Ensayos de laboratorio de Geotecnia	REFERENCIAS	



Avda del Aire, 1317. San Luis. Lima egea.andina@gmail.com. Tfno: 942 996 957

ACTA DE RESULTADOS

Obra: INFORME GEOTÉCNICO PARQUE EÓLICO MÓRROPE , CHICLAYO

Peticionario: SIGA INGENIERÍA Procedencia: Calicata C6. M1 Descripción del material: Arena Nº Albarán: 001023

CODIGO ACTA	CODIGO OBRA	EXPEDIENTE	MUESTRA	FECHA DE ACTA
2015/309	108	36	.2015/503	18/08/2015

Determinación del contenido de Ión sulfato S/UN 83963:2008

DESTINATARIO

SIGA INGENIERÍA

RESULTADOS DEL ENSAYO

	Ensayo EG0205 - Determinación del contenido de Ión sulfato S/UNE 83	963:2008	
Sulfatos	mg/kg	4114,74	

Página 1/1

V° B° DIRECTOR,

Glicerio Fernández

Antonio Cherino

TÉCNICO RESPONSABLE DE ENSAYO

Copias enviadas a: SIGA INGENIERÍA

ACREDITADO OTRAS Ensayos de laboratorio de Geotecnia REFERENCIAS



Avda del Aire, 1317. San Luis. Lima egea.andina@gmail.com. Tfno: 942 996 957

ACTA DE RESULTADOS

Obra: INFORME GEOTÉCNICO PARQUE EÓLICO MÓRROPE CHICLAYO

Peticionario: SIGA INGENIERÍA Procedencia: Calicata C6. M1 Descripción del material: Arena

Nº Albarán: 001023

CODIGO ACTA	CODIGO OBRA	EXPEDIENTE	MUESTRA	FECHA DE ACTA
2015/310	108	36	.2015/503	18/08/2015

Proctor	Modificado	S/MTC	E	115-2000
---------	------------	-------	---	----------

DESTINATARIO

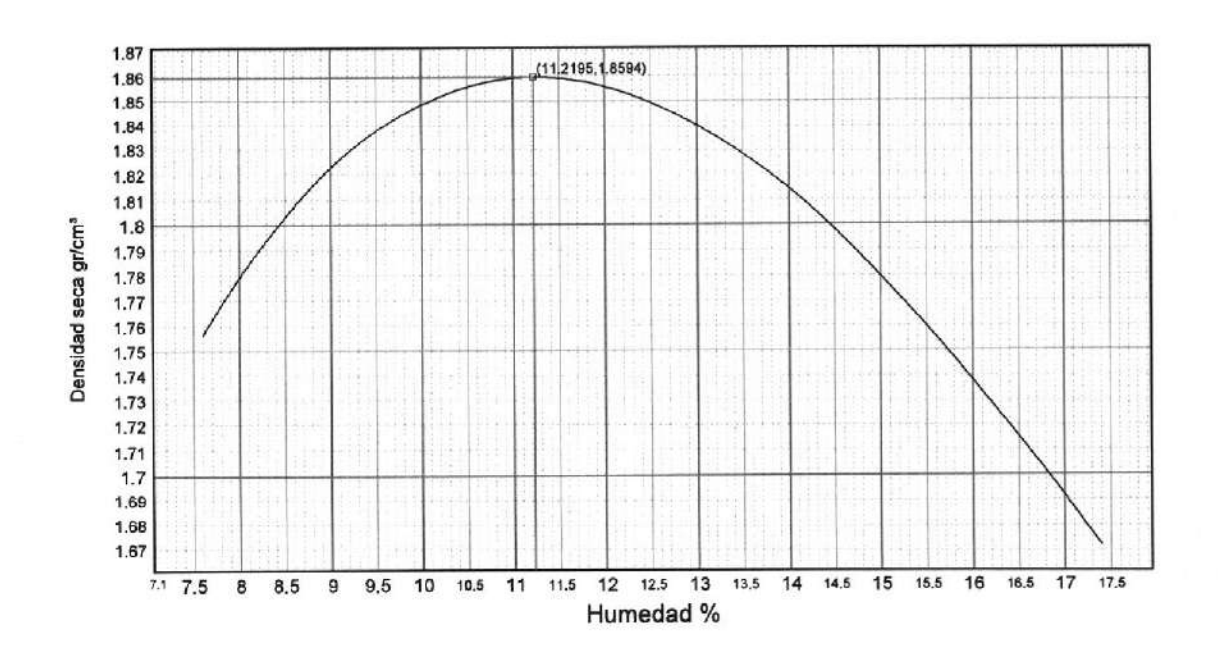
SIGA INGENIERÍA

RESULTADOS DEL ENSAYO

Densidad máxima 1,859gr/cm³

Humedad óptima

11,2 %



Página 1/1

V° B° DIRECTOR,

TÉCNICO RESPONSABLE DE ENSAYO

ACREDITADO

Copias enviadas a: SIGA INGENIERIA

Glicerio Fernández

,	Ensayos de laboratorio de Geotecnia	OTRAS REFERENCIAS:	
_			THE RESERVE OF THE PARTY OF THE



Avda del Aire, 1317. San Luis. Lima egea.andina@gmail.com. Tfno: 942 996 957

ACTA DE RESULTADOS

Obra: INFORME GEOTÉCNICO PARQUE EÓLICO MÓRROPE

, CHICLAYO

Peticionario: SIGA INGENIERÍA Procedencia: Calicata C6. M1 Descripción del material: Arena

Nº Albarán: 001023

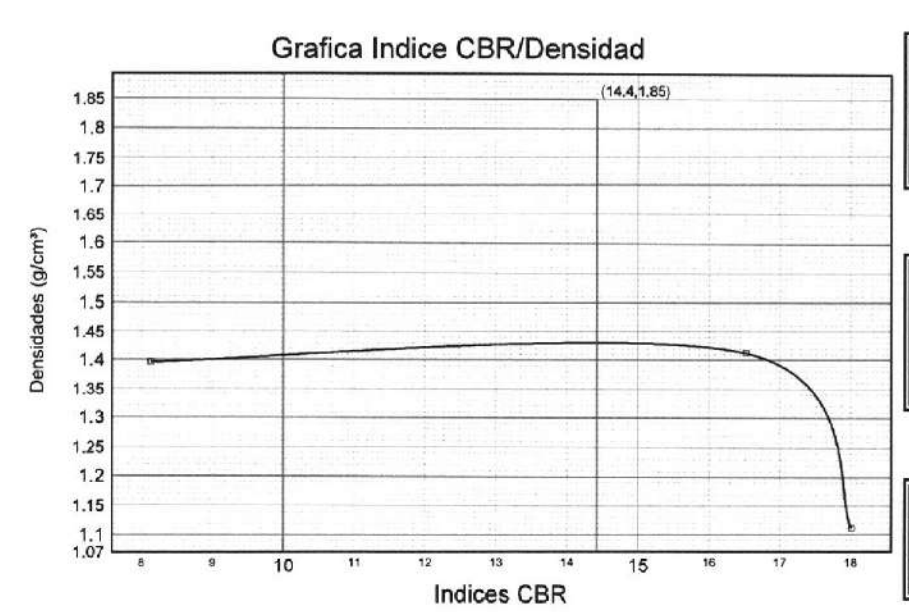
CODIGO ACTA	CODIGO OBRA	EXPEDIENTE	MUESTRA	FECHA DE ACTA
2015/311	108	36	.2015/503	18/08/2015

Índice CBR en laboratorio S/MTC E 132-2000

DESTINATARIO

SIGA INGENIERÍA

RESULTADOS DEL ENSAYO



PROCTOR NOR	RMAL
Densidad máxima	1,850 g/cm³
Humedad óptima	11,2 %
Compactación (100%)	1,850 g/cm³.

Compactación	Densidad	Indice CBR
95 %	1,758 g/cm³	14
98 %	1,813 g/cm³	14
100 %	1,850 g/cm³	14

Indice CBR (100%)	14
Hinchamiento (100%)	0,00 %
Absorción (100%)	-23,34 %

	MOLDE A	MOLDE B	MOLDE C
Energia compactación	25% (15 golpes)	50% (30 golpes)	100% (60 golpes)
Densidad	1,396 g/cm³	1,412 g/cm²	1,111 g/cm³
Humedad	21,9 %	23,8 %	24,6 %
Absorción	-21,94 %	-23,83 %	-24,62 %
Hinchamiento	0,00 %	0,00 %	0,00 %
Indice C.B.R.	8	17	18

I	Norma: UNE 103,502	Material retenido tamiz 20 mm. UNE: 0,00 %	Sobrecarga utilizada: 5,0 Kg.	Se ha efectuado sustitución de material: No

Página 1/1

V° B° DIRECTOR,

TÉCNICO RESPONSABLE DE ENSAYO

Copias enviadas a: SIGA INGENIERÍA

Antonio Cherino

Glicerio Fernández

ACREDITADO OTRAS Ensayos de laboratorio de Geotecnia REFERENCIAS



Avda del Aire, 1317. San Luis. Lima

egea.andina@gmail.com. Tfno: 942 996 957

ACTA DE RESULTADOS

Obra: INFORME GEOTÉCNICO PARQUE EÓLICO MÓRROPE , CHICLAYO

Peticionario: SIGA INGENIERÍA Procedencia: SM2. TP 15,80-16,15 m Descripción del material: Arcilla limosa

Nº Albarán: 001033

CODIGO ACTA	CODIGO OBRA	EXPEDIENTE	MUESTRA	FECHA DE ACTA
2015/312	108	36	.2015/513	18/08/2015

Humedad mediante secado en estufa S/ASTM D-4318 - 10

DESTINATARIO

SIGA INGENIERÍA

RESULTADOS DEL ENSAYO

ENSAYO		Obligatorio
MASA RECIPIENTE	M1	107,5
MASA RECIPIENTE + MUESTRA	M2	578,4
MASA RECIPIENTE + MUESTRA SECA	M3	494,8
MEDIA %	W=(M2-M3)/(M3-M1)*100	21,59

Página 1/1

V° B° DIRECTOR,

Glicerio Femández

TÉCNICO RESPONSABLE DE ENSAYO

Antonio Cherino

Copias enviadas a: SIGA INGENIERÍA

Ensayos de laboratorio de Geotecnia

OTRAS REFERENCIAS



Avda del Aire, 1317. San Luis. Lima egea.andina@gmail.com. Tfno: 942 996 957

ACTA DE RESULTADOS

Obra: INFORME GEOTÉCNICO PARQUE EÓLICO MÓRROPE

, CHICLAYO

Peticionario: SIGA INGENIERÍA Procedencia: SM2. TP 15,80-16,15 m Descripción del material: Arcilla limosa

Nº Albarán: 001033

CODIGO ACTA	CODIGO OBRA	EXPEDIENTE	MUESTRA	FECHA DE ACTA
2015/313	108	36	.2015/513	18/08/2015

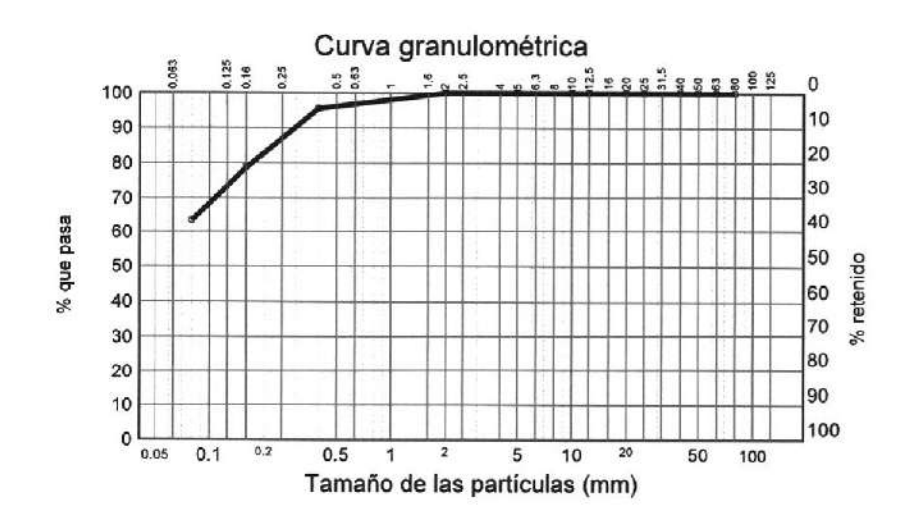
Granulometría por tamizado. Preparación de mues S/ASTM D-422 - 63 / D2487 - 11 / D-3282 -09 / D-4318 - 10

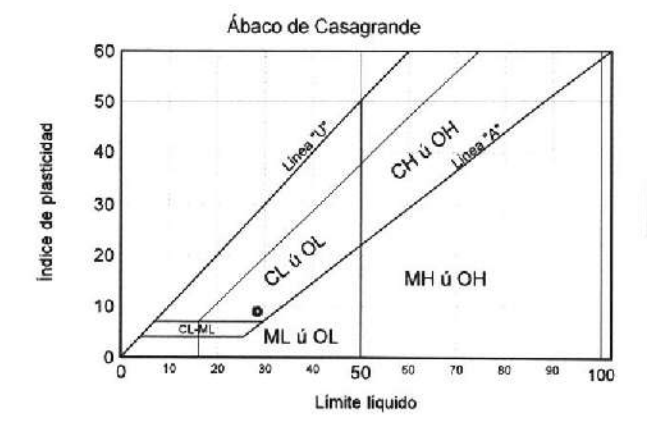
DESTINATARIO

SIGA INGENIERÍA

RESULTADOS DEL ENSAYO

Tamiz (mm)	Pasa (%)	
80	100	
63	100	
50	100	
40	100	
25	100	
20	100	
12.5	100	
10	100	
5	100	
2	100	
0.4	95	
0.16	79	
0.08	63.4	





Copias enviadas a:

SIGA INGENIERÍA

Método de análisis Lavado y tamizado

Página 1/2

V° B° DIRECTOR

Glicerio Fernández

Antonio Cherino

ACREDITADO

TÉCNICO RESPONSABLE DE ENSAYO

Ensayos de laboratorio de Geotecnia

REFERENCIAS: